# Tema 2 Sistemas 2G-4G

# Contenido

- Introducción
- TETRA y DMR
- GSM
- UMTS
- LTE
- Bibliografía



# Introducción (I)

- Sistemas de radiotelefonía móvil profesional (PMR)
  - Redes de comunicaciones móviles de voz y datos de baja velocidad no conectado a la RTP para la gestión de la actividad de personas y flotas
  - Grandes áreas de cobertura, llamadas punto a punto, punto a multipunto, a grupos específicos, bandas de VHF y UHF
  - TETRA, DMR, dPMR
- Sistemas de comunicaciones móviles públicas terrestres (PLMN)
  - Redes de comunicaciones móviles basadas en sistemas celulares
  - Cobertura nacional o internacional y facilidades de itinerancia y traspaso
  - Soportan la transmisión de voz y datos
  - GSM, UMTS, LTE, LTE-A, 5G-NR y evoluciones intermedias (GPRS, HSPA, ...)



## TETRA y DMR (I)

- TETRA (*Terrestrial Trunked Radio*)
  - ETSI EN 300 392, EN 300 396, TS 100 392, ...
  - ETSI: TETRA Release 1 y TETRA Release 2 (1995 / 2005)



- Usuarios PMR: Seguridad pública, gobiernos y militares, transporte y distribución, comercio e industria
- Interfaz radio
  - TDMA con 4 intervalos por trama
  - Radiocanales de 25 kHz
  - Modulación π/4 DQPSK
- Bandas de frecuencia
  - O UN-28, Seguridad del Estado, emergencia: 380-385 y 390-395 MHz
  - UN-31, redes móviles troncales: 410-470 MHz
  - UN-40, asignación dinámica de canales: 870-876 y 915-921 MHz



# TETRA y DMR (II)

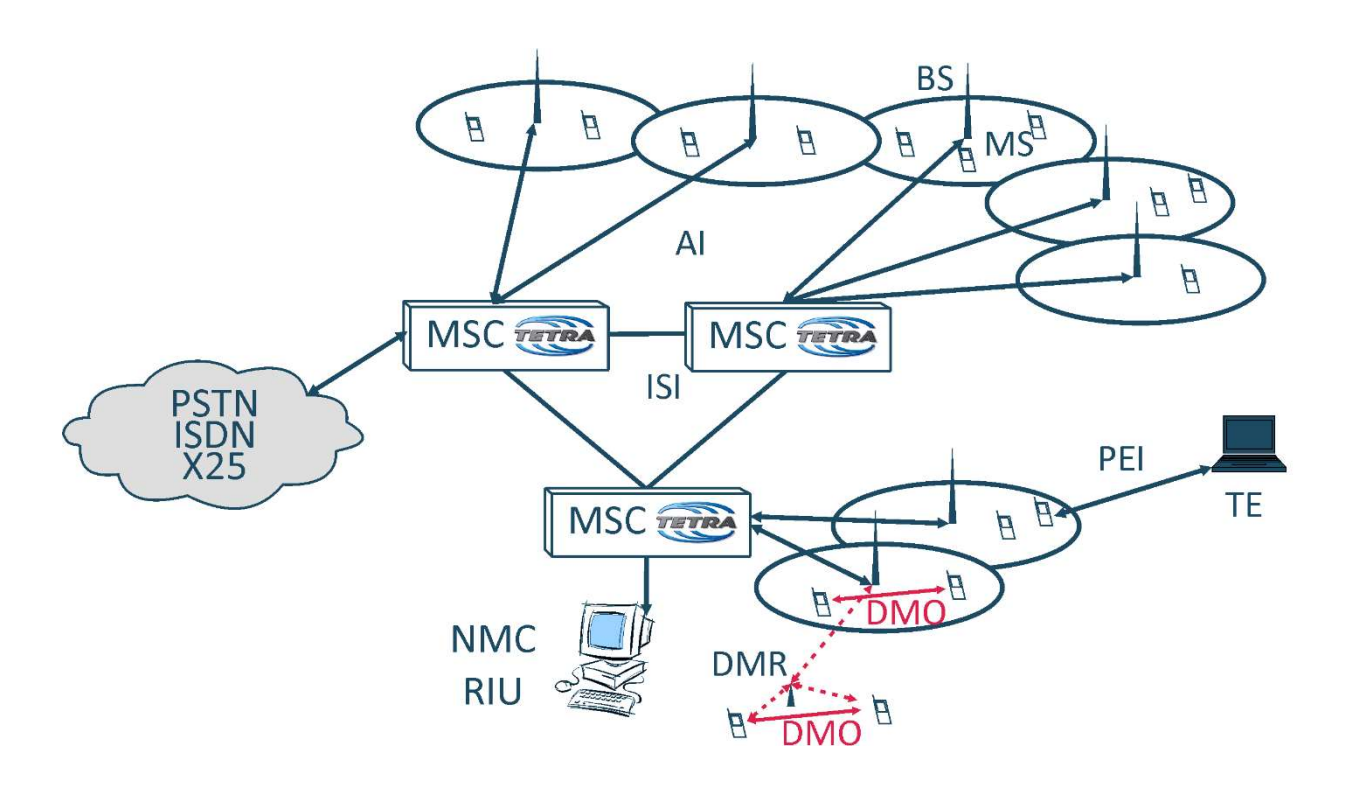
- Modos de funcionamiento
  - TETRA Release 1
    - $\circ$  V + D (Voice + Data)
    - DMO (Direct Mode Operation)
    - PDO (Packet Data Optimized): sin desarrollo
  - TETRA Release 2
    - Extensión de rango TMO (Trunked Mode Operation)
    - TEDS (TETRA Enhanced Data Service)

Modulación	Canalización, velocidades en kbit/s (4 TS)						
Modulacion	25 kHz	50 kHz	100 kHz	150 kHz			
$\pi/4$ DQPSK	15,6						
π/8 D8PSK	24,3						
4QAM	11	27	58	90			
16QAM	22	54	116	179			
	33	80	175	269			
64QAM	44	107	233	359			
	66	160	349	538			



# TETRA y DMR (III)

### Arquitectura



Al: Air Interface

**DMO: Direct Mode Operation** 

DMR: Direct Mode Repeater

ISI: Inter-System Interface

MSC: Mobile Switching Center

NMC: Network Management Center

PEI: Peripheral Equipment Interface

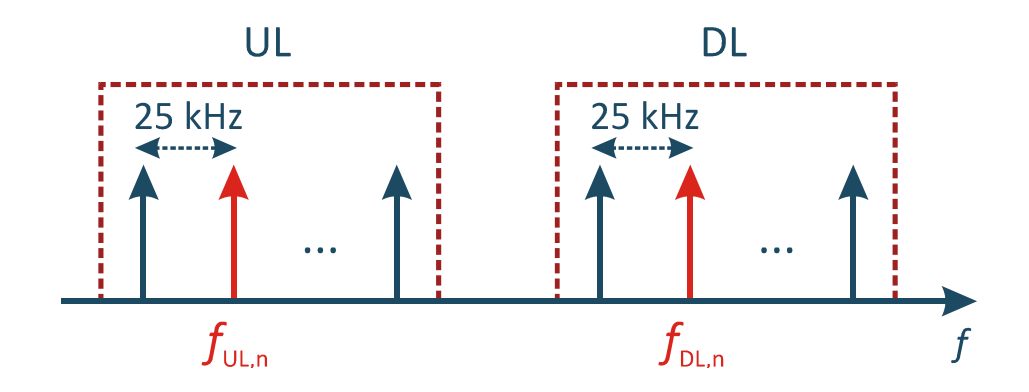
RIU: Recording Information Unit

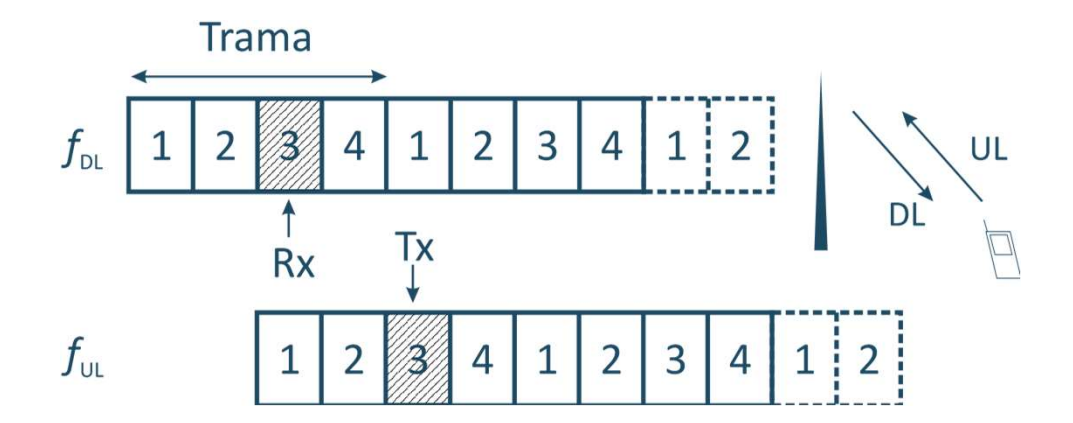
TE: Terminal Equipment



# TETRA y DMR (IV)

TETRA V+D: Multiacceso TDMA







# TETRA y DMR (V)

■ TETRA: balance de enlace y cobertura celular

Parámetro		DL	UL	Relación
Α	Potencia del transmisor, $P_t$ (dBm)	40	35	BTS (clase 4) y MS (clase 3)
В	Pérdidas terminales, $L_{tt}$ (dB)	3,5	0	
С	Ganancia antena transmisión, $G_t$ (dBi)	5,5	0	
D	PIRE (dBm)	42	35	D=A-B+C
Е	Sensibilidad Rx, S (dBm)	-103	-106	
F	Degradación por ruido, D (dB)	3	2	
G	Margen desvanecimientos, M <sub>L</sub> (dB)	8,3	8,3	$t \cdot \sigma_{L} \ (t \approx 1,28 \ (x=90\%) \ \text{y} \ \sigma_{L} = 6,5 \ \text{dB})$
Н	Ganancia antena recepción, $G_r$ (dBi)	0	5,5	
1	Potencia isótropa, P <sub>iso</sub> (dBm)	-91,7	-95,7	I=E+F+G
J	Pérdida máxima compensable, $L_b$ (dB)	133,7	136,2	J=D+H-I
K	Cobertura rural, d (km)	15,45	18,20	Hata, $h_b$ =30 m, $h_m$ =1,5 m $f$ =410 MHz



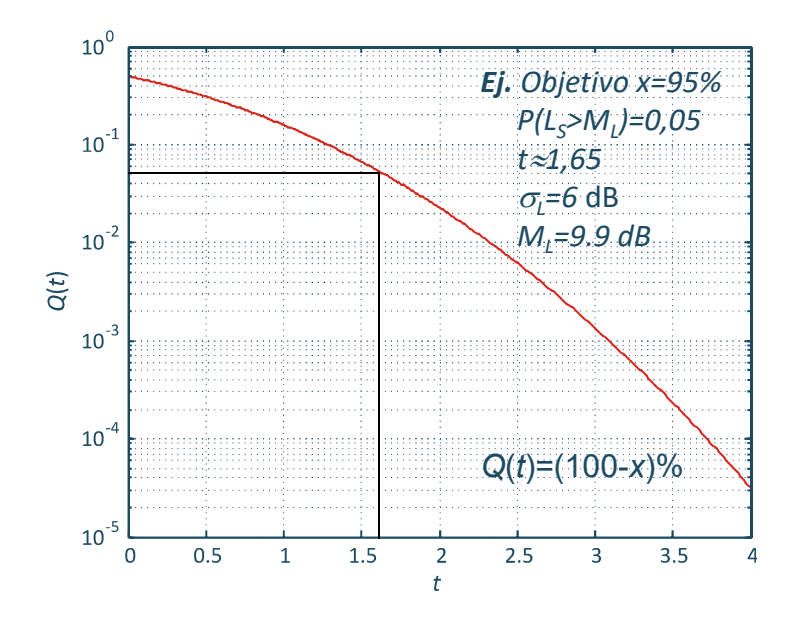
# TETRA y DMR (VI)

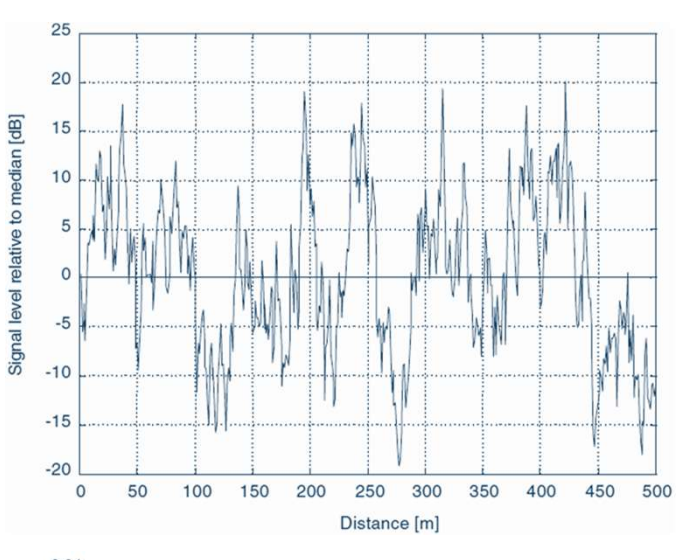
Shadowing: margen log-normal

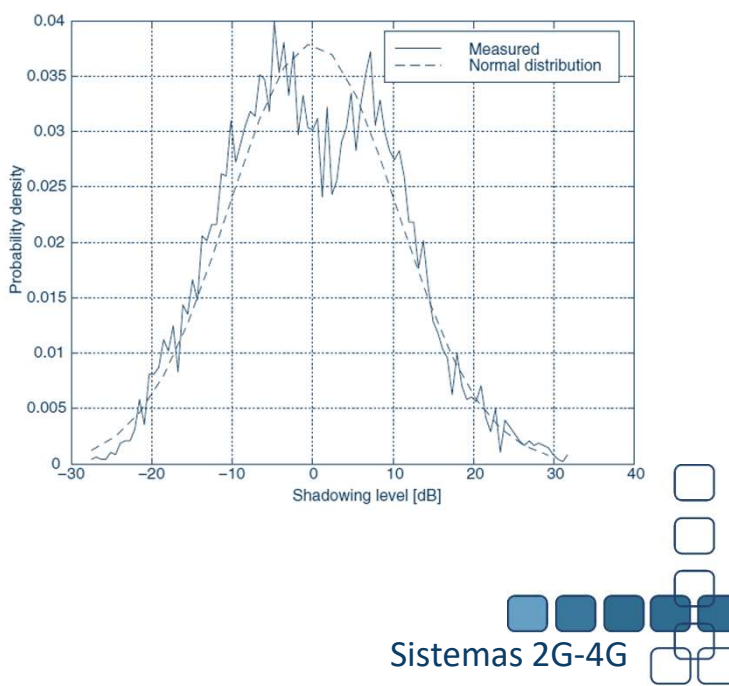
$$p(L_s) = \frac{1}{\sigma_L \sqrt{2\pi}} \exp\left[-\frac{L_s^2}{2\sigma_L^2}\right]$$

$$P[L_s > M_L] = \int_{M_L}^{\infty} p(L_s) dL_s = Q\left(\frac{M_L}{\sigma_L}\right)$$

$$M_L = t \sigma_L$$



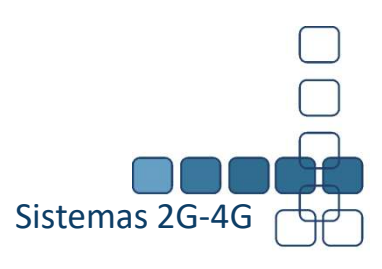




## TETRA y DMR (VII)

- DMR (Digital Mobile Radio)
  - ETSI TS 102 361 parts 1-4, TR 102 398
  - Reemplaza a PMR analógicos de canales individuales y a los troncales MPT13XX
  - Proporciona servicios de voz (PTP y PTM) y datos
  - TDMA con 2 TS, modulación 4FSK y canalización de 12,5 kHz (Tier I y II)
  - Sistemas:
    - O DMR *Tier I* (2005): redes sin licencia en 446 MHz, pot. máxima de 0.5 w
      - Redes sencillas, cobertura reducida y sin repetidores. FDMA
    - O DMR *Tier II* (2005): redes con licencia en el rango 66-960 MHz
      - Sustituyen PMR analógicos, amplia cobertura, asignación rígida
    - O DMR *Tier III* (2012): sistema troncal en el rango 66-960 MHz
      - Soporta voz y datos (mensajes cortos o paquetes IP v4 o IP v6)



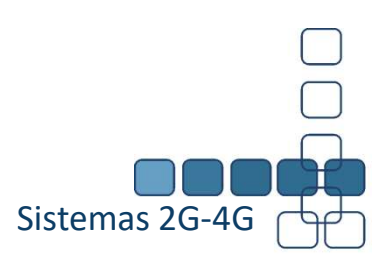


# TETRA y DMR (VIII)

- dPMR (digital Private Mobile Radio)
  - ETSI TS 102 490 (Tier I) TS 102 658 (Tier II)
  - Solución PMR con capacidad de voz/datos de bajo coste y complejidad
  - FDMA, mod. 4FSK, 4800 bit/s y canalización de 6,25 kHz
  - Niveles funcionales dPMR (*Tier I, II*):
    - o dPMR 446: sistemas <u>sin licencia</u> en 446 MHz con cobertura reducida (6 km), sin repetidores (PTP)
    - Mode 1: redes PMR con licencia, sin repetidores (PTP)
    - Mode 2: PMR convencional con licencia, repetidores y estaciones base. Gran cobertura
    - Mode 3: sistema troncal multi-emplazamiento con gestión de acceso y máxima funcionalidad







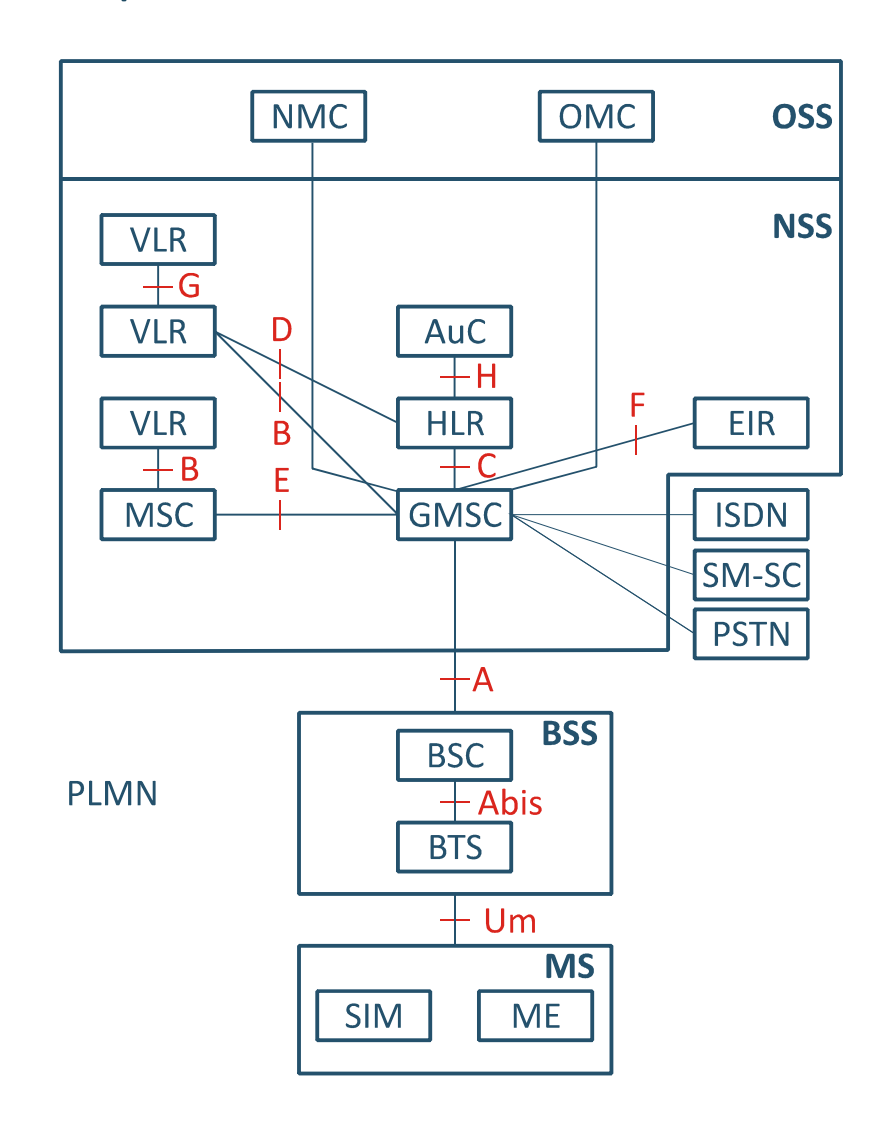
# GSM (I)

- GSM (Global System for Mobile communications)
  - FDD/TDMA, radiocanales de 200 kHz
  - Modulación: GMSK con  $B \cdot T = 0.3$  (270,83 kbit/s ,  $\eta = 1.35$  bit/s/Hz)
  - PIRE máxima estaciones base (GSM 900): 500 W
  - Rp: co-canal 9 dB, canal advacente -9 dB
  - Dispersión Doppler compensable: 200 km/h
  - Dispersión temporal máxima ecualizable: 16 μs
  - Estructura celular 3/9 ó 4/12 (urbano) y omnidireccional (rural)



# GSM (II)

### Arquitectura



AuC: Authentication Center

**BSC: Base Station Controller** 

**BTS: Base Transceiver Station** 

EIR: Equipment Identity Register

**GMSC:** Gateway MSC

HLR: Home Location Register

ISDN: Integrated Services Digital Network

MS: Mobile Station

MSC: Mobile Switching Center

NMC: Network Management Center

OMC: Operation and Maintenance Center

PLMN: Public Land Mobile Network

PSTN: Public Switched Telephone Network

SM-SC: Short Message Service Center

SIM: Subscriber Identity Module

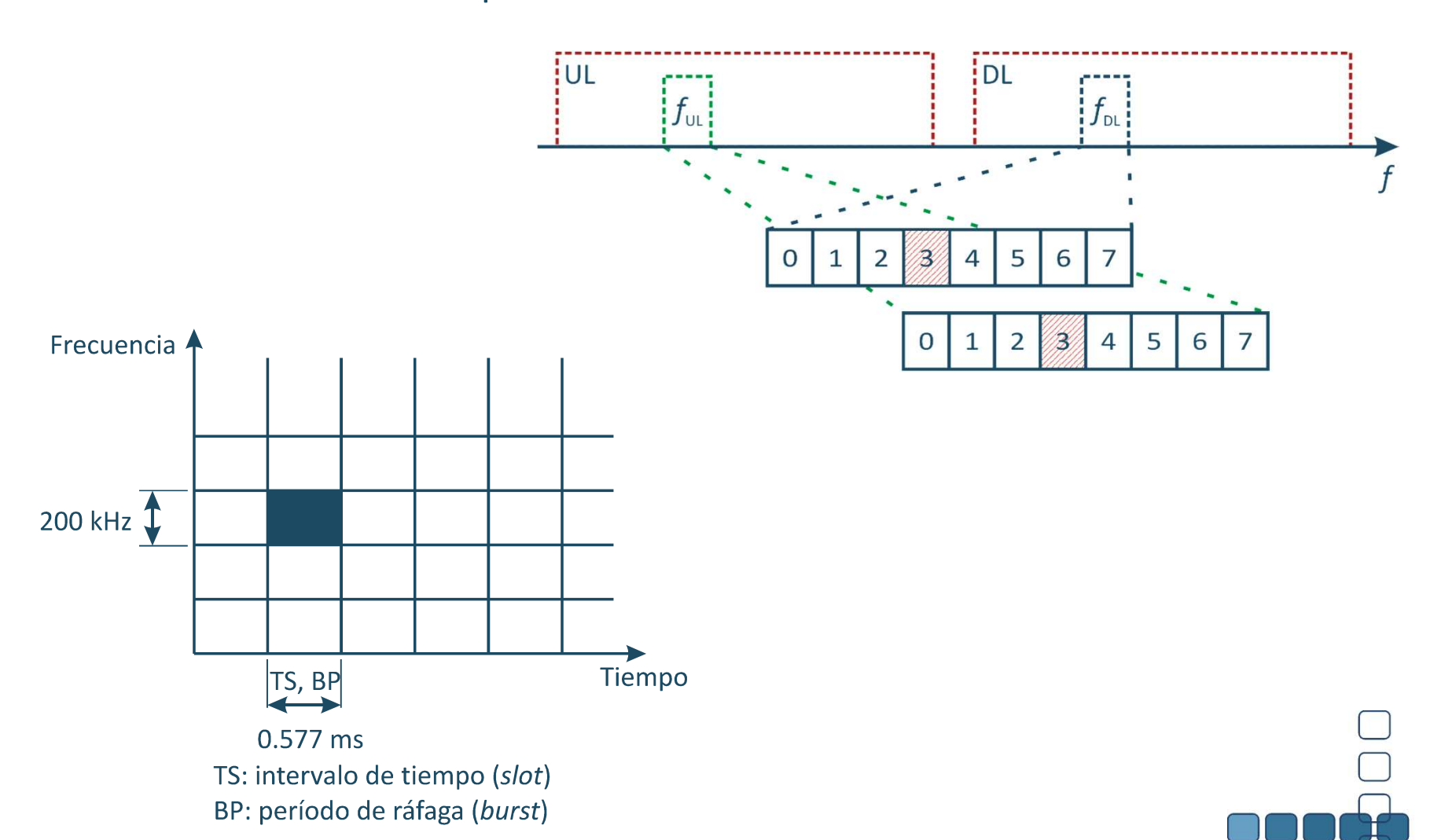
VLR: Visitor Location Register



# GSM (III)

### Canales

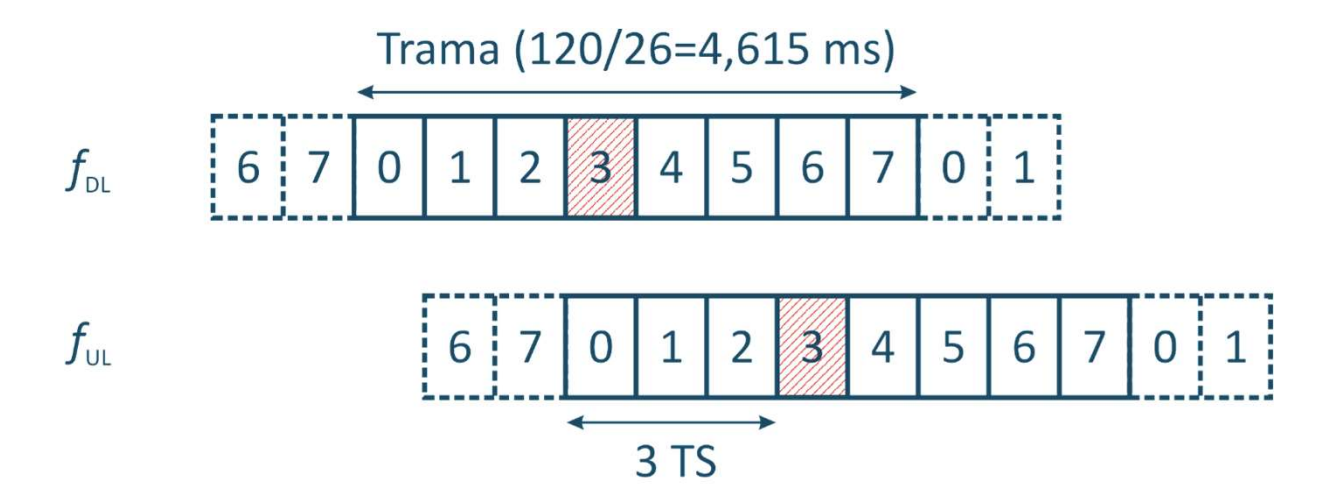
Canal físico: intervalo temporal de un radiocanal  $\rightarrow$  TDMA



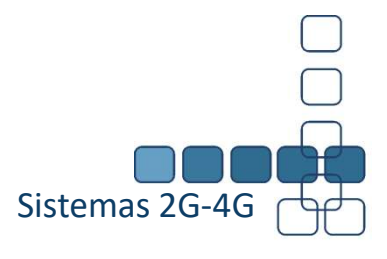
Sistemas 2G-4G

# GSM (IV)

TDMA: trama temporal

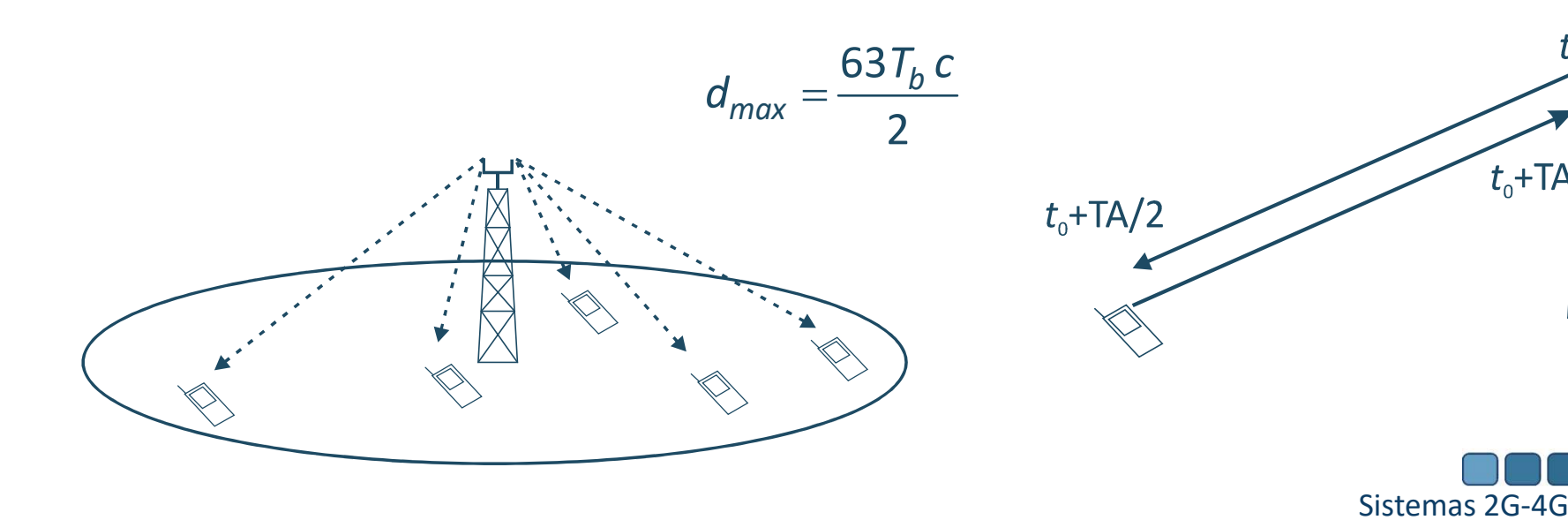


- Trama: 8 TS. Referencia de temporización: MF26 (120 ms) → TS=0,577 ms
- En 1 TS se transmiten 156,25 bits  $\rightarrow$  Velocidad interfaz radio 270,833 kbit/s
- En BTS el comienzo de trama en UL se retrasa 3TS  $\rightarrow$  Se evita duplexor en MS
- El MS aplica desplazamiento variable, TA (*Timing Advance*)  $\rightarrow$  Propagación
- Fuera del TS, el terminal realiza medidas



# GSM (V)

- Avance temporal
  - Compensación de distancia
    - Evitar colisiones por efecto cerca-lejos
    - MS adelanta transmisión 3TS TA períodos de bit (TA, Timing Advance)
    - o Cada unidad TA: 550 m. Si TA=1, MS entre 550 y 1100 m
    - TA: se codifica con 6 bits  $\rightarrow d_{max} \approx 35$  km



# GSM (VI)

- Compensación de distancia
  - $\circ$  Si TA = 1 $T_b$  (000001)

$$T_b = \frac{t_{TS}}{156.25} = \frac{0.577 \cdot 10^{-3}}{156.25} = 3.6928 \,\mu\text{s}$$

$$d = T_b \cdot c = 1107.84 \,\mathrm{m}$$

$$d' = \frac{d}{2} = 553.92$$
m

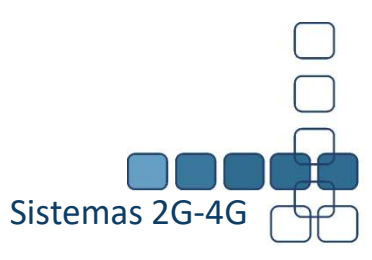
$$d \in [553.92, 1107.84] \text{ m}$$

$$\circ$$
 Si TA = 63 $T_b$  (111111)

$$d=63 \cdot T_b \cdot c = 69784.7 \text{m}$$

$$d_{max} = \frac{d}{2} = 34892.35$$
m

$$d_{max} \in [34892.35, 35442] \text{ m}$$

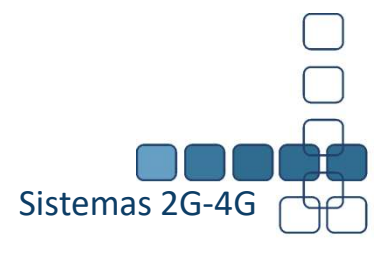


# GSM (VII)

- Balance del enlace: sensibilidad
  - Rec. GSM 05.05: valores de referencia de  $E_b/N_o$  y sensibilidad para distintos grados de calidad (BER, FER y RBER) y condiciones de propagación

$$S(dBm) = 10log(kT_o) + 10log(v_b(bit/s)) + NF_r + \begin{pmatrix} E_b \\ N_o \end{pmatrix}$$

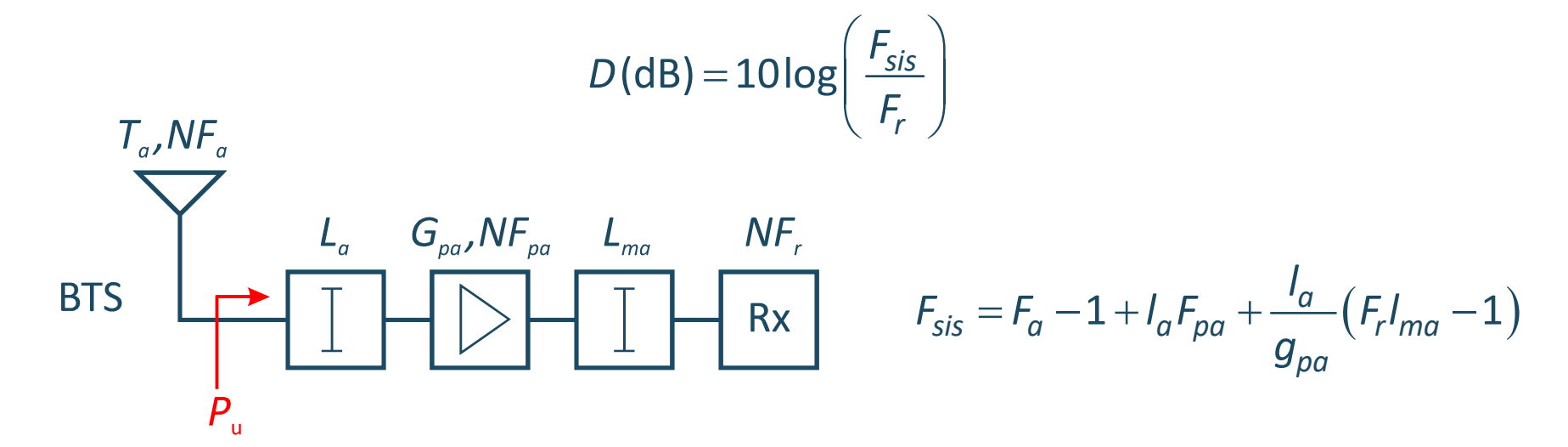
$$k = 1,38 \cdot 10^{-23} \text{ J/K}$$
  
 $T_o = 290 \text{ K}$   $10 \log(kT_o) = -174 \text{ dBm/Hz}$   
 $V_b = 270,833 \text{ kbit/s} \rightarrow \frac{E_b}{N_o} = 8 \text{ dB}$   
BTS y MS  $\rightarrow S = -104 \text{ dBm} (NF_c = 8 \text{ dB})$ 

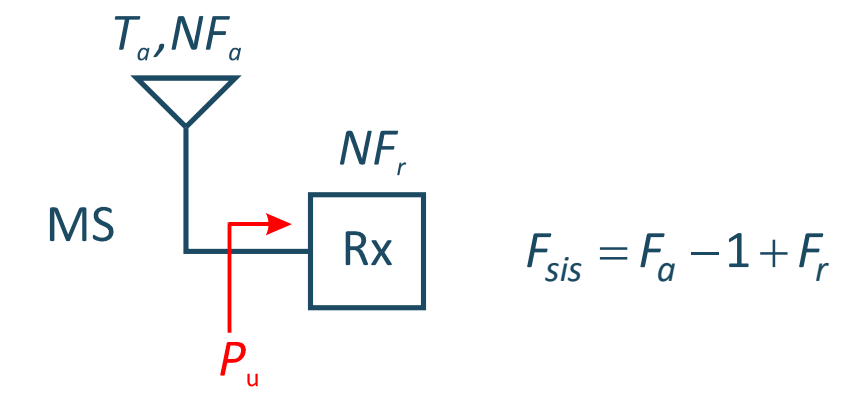


# GSM (VIII)

Balance del enlace: potencia umbral

$$P_u(dBm) = S(dBm) + D(dB)$$







# GSM (IX)

Balance del enlace: pérdida compensable

$$P_{iso}(dBm) = S(dBm) + D(dB) + M_{I}(dB) + M_{L}(dB)$$

$$M_1 = 3 \text{ dB}$$
 (ETR103, GSM 03.30)

$$L_b$$
 (dB) = PIRE(dBm)  $-P_{iso}$  (dBm)  $+G_r$  (dBi)

# GSM (X)

Cuadro de balance de enlaces (GSM 03.30)

Parámetro		DL	UL	Relación
Α	Potencia del transmisor, $P_t$ (dBm)	38	33	
В	B Pérdidas combinador, $L_c$ (dB)			
С	C Pérdidas cables y conectores, $L_f$ (dB)			
D	D Ganancia antena transmisión, $G_t$ (dBi)		-3	Efecto del cuerpo del usuario (3 dB)
Ε	PIRE (dBm)	46,2	30	
F	Sensibilidad del receptor, S (dBm)	-102	-104	$NF_r$ =10 dB (DL) y $NF_r$ =8 dB (UL)
G	Degradación por ruido, D (dB)	2,8	2,2	
Н	Margen interferencia, M <sub>I</sub> (dB)	3	3	
1	Margen desvanecimientos, M <sub>L</sub> (dB)	9	9	$t$ ≈1,28 ( $x$ =90%) y $\sigma_{L}$ =7 dB
J	Ganancia antena recepción, $G_r$ (dBi)	-3	12	usuario (3 dB) y diversidad (3 dB)
K	Potencia isótropa, P <sub>iso</sub> (dBm)	-87,2	-89,8	K=F+G+H+I
L	Pérdida máxima compensable, $L_b$ (dB)		131,8	L=E-K+J
M	Cobertura en exteriores, d (km)	1,25	1,42	Se considera Hata, $h_b$ =30 m, $h_m$ =1,5 m
N	Cobertura en interiores, d (km)	0,47	0,53	Hata con $L_b$ -15 dB (penetración)



# GSM (XI)

### Okumura-Hata

Áreas urbanas
$$L = A + B \cdot \log d - E$$
 (dB)Unidades:Áreas suburbanas $L = A + B \cdot \log d - C$  (dB) $f \rightarrow \text{MHz}$ Áreas abiertas $L = A + B \cdot \log d - D$  (dB) $d \rightarrow \text{km}$  $h_b, h_m \rightarrow \text{m}$ 

$$A = 69.55 + 26.16 \log f - 13.82 \log h_b$$

$$B = 44.9 - 6.55 \log h_b$$

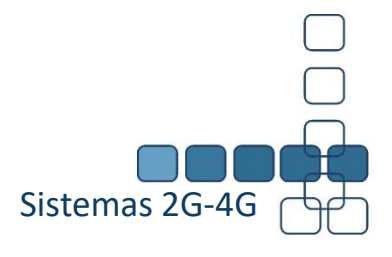
$$C = 2(\log(f/28))^2 + 5.4$$

$$D = 4.78 (\log f)^2 - 18.33 \log f + 40.94$$

$$E = 3.2(\log(11.75 h_m))^2 - 4.97 \quad \text{ciudades grandes, } f \ge 300 \text{ MHz}$$

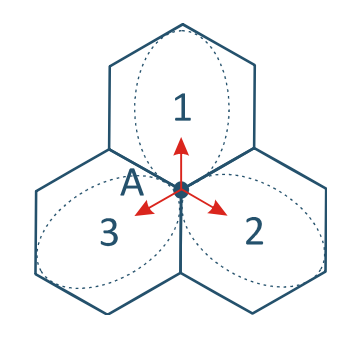
$$E = 8.29(\log(1.54 h_m))^2 - 1.1 \quad \text{ciudades grandes, } f < 300 \text{ MHz}$$

$$E = (1.1 \log f - 0.7) h_m - (1.56 \log f - 0.8) \quad \text{ciudades medias y pequeñas}$$



# GSM (XII)

Agrupaciones trisectorizadas 3/9 ó 4/12







Sistemas clásicos



$$S_c = \frac{3\sqrt{3}R^2}{2}$$

$$J = \frac{1}{3} \left( \frac{D}{R} \right)^2$$

$$S_{rc} = \frac{3\sqrt{3} R^2 J}{2}$$

$$S_c = \frac{3\sqrt{3}R^2}{2}$$
  $J = \frac{1}{3}\left(\frac{D}{R}\right)^2$   $S_{rc} = \frac{3\sqrt{3}R^2J}{2}$   $Q = E\left[\frac{S_T}{S_{rc}}\right] + 1$ 

Grado de servicio y capacidad de usuarios

$$p = 1 - \left(1 - p_b\right) p_c$$

$$GOS(\%) = 100p$$

$$N = \frac{C}{J}$$
  $m = \frac{A}{a}$   $M = QJm$ 



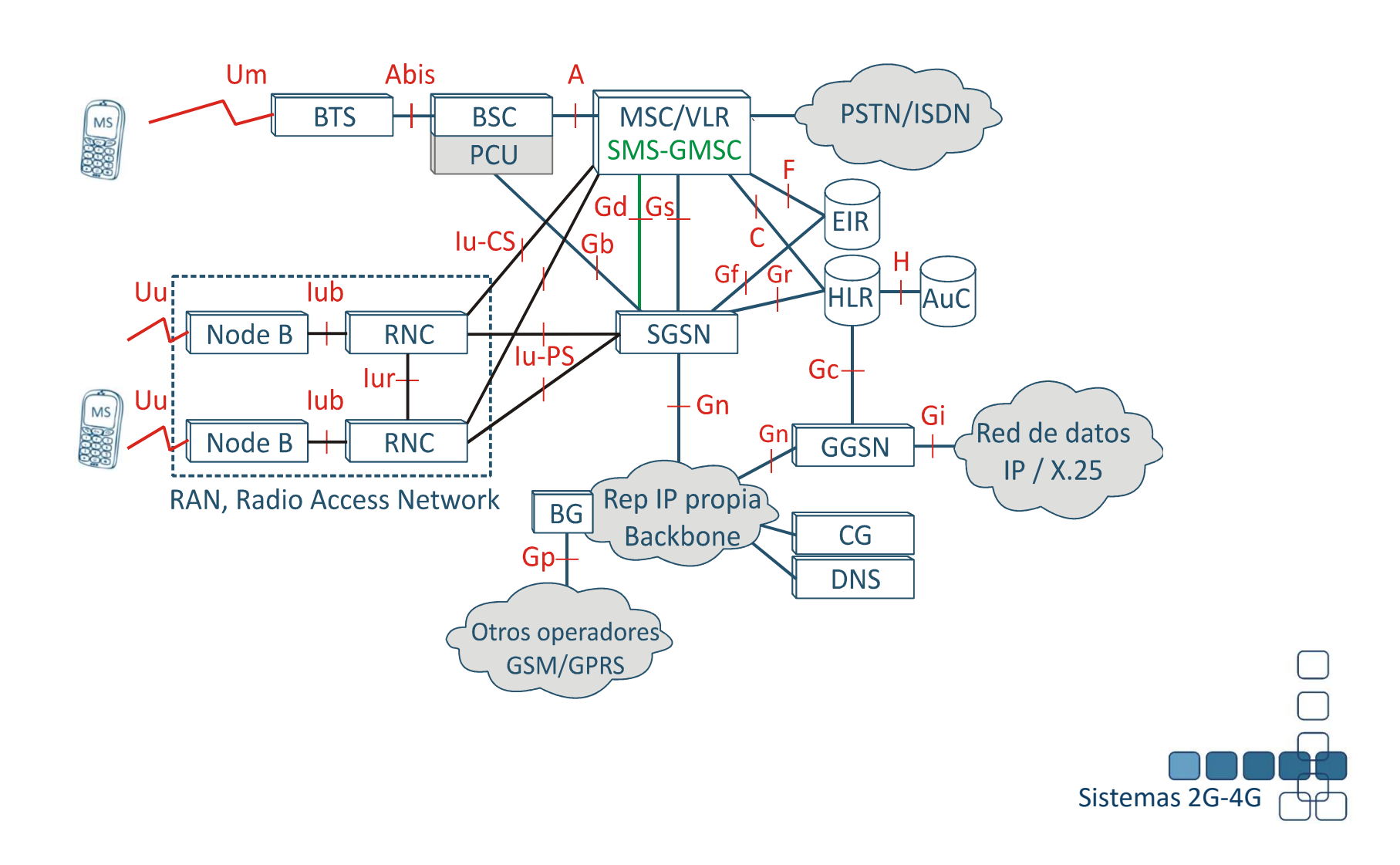
# UMTS (I)

- UMTS (Universal Mobile Telecommunications System)
  - 3GPP: TS 25.-series (especificaciones de UTRAN)
  - Ensanchamiento espectral (códigos OVSF y PN), 5 MHz
  - Control rápido de potencia: 1500 veces/seg
  - Modos de operación FDD y TDD
    - UTRA FDD: WCDMA y modulación QPSK (estrictamente dual BPSK en UL)
    - UTRA TDD: TD-CDMA (WCDMA + TDMA) y modulación QPSK
  - Velocidad flexible, hasta 2 Mbit/s
  - Establecimiento simultáneo de varias conexiones, ej. voz y datos (multiRAB)



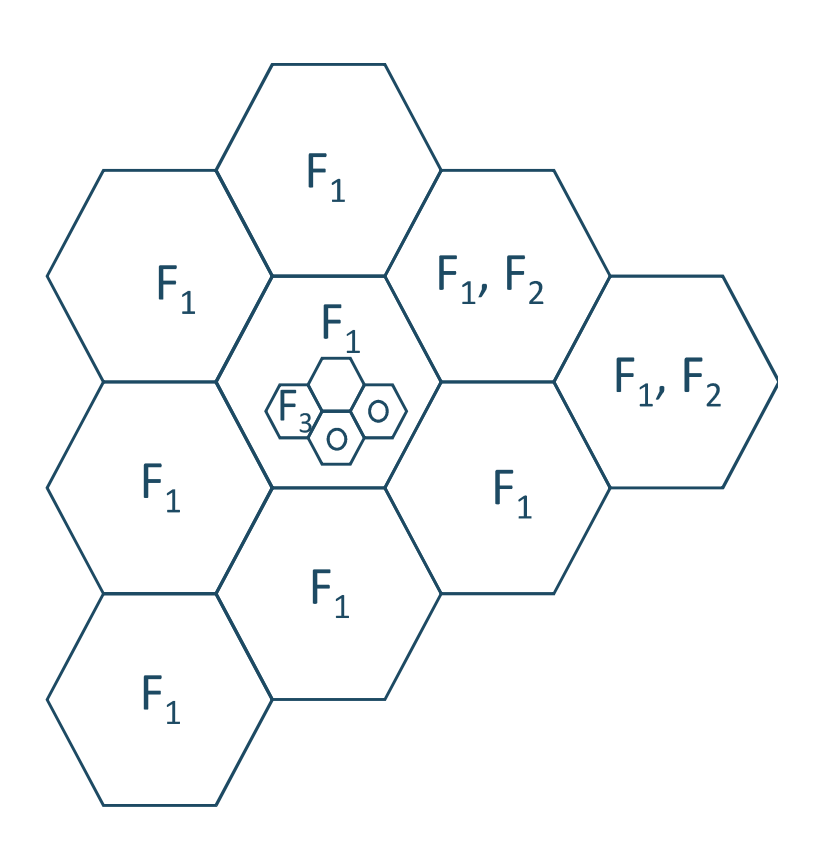
# UMTS (II)

- Arquitectura
  - Release 99: CN de GSM/GPRS → Red IP (All IP) → Releases 6, 7,..., 13



# UMTS (III)

- Estructura celular jerárquica
  - UTRA FDD: macro y microcélulas (144-384 kbit/s)
  - UTRA TDD: micro y picocélulas (hasta 2 Mbit/s)

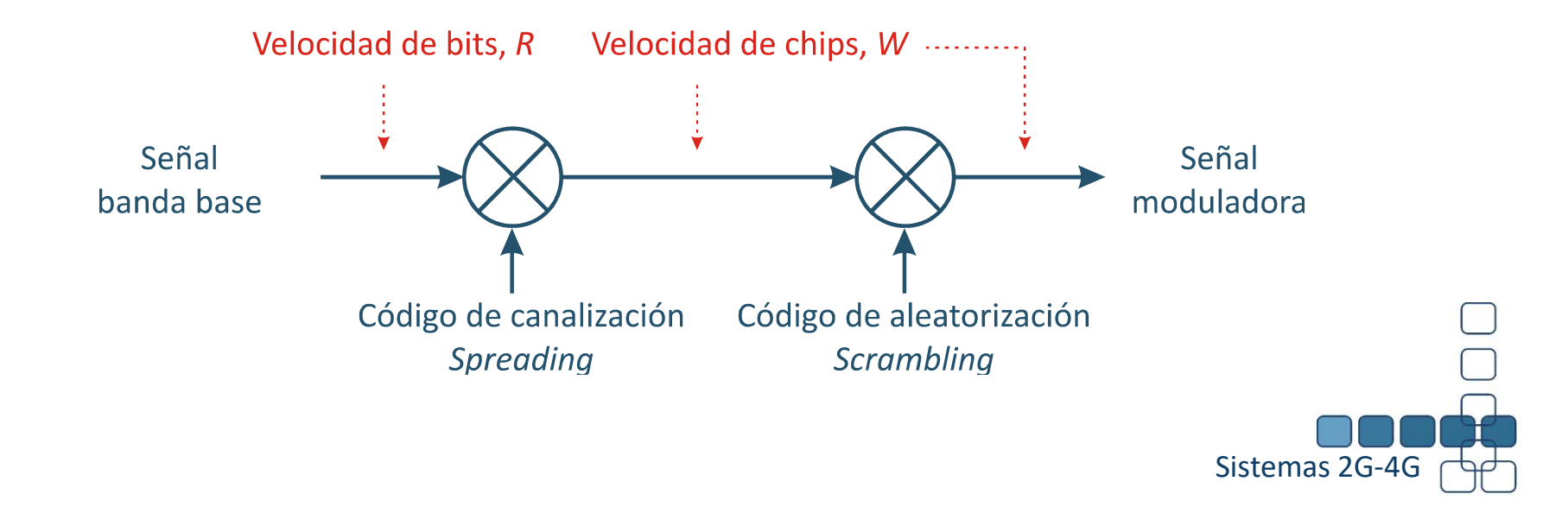




# **UMTS (IV)**

### WCDMA

- Secuencias de canalización
  - Códigos cortos y ortogonales entre sí
  - Factor de ensanchamiento variable SF (Spreading Factor)  $\rightarrow$  3,84 Mchip/s
- Secuencias de aleatorización
  - Identifican a las celdas en DL y diferencian a los usuarios en el UL
  - Permiten utilizar mismos códigos de canalización en varias celdas

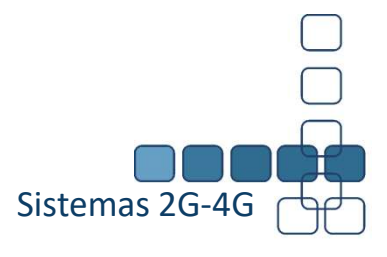


# UMTS (V)

- Capacidad celular
  - WCDMA: sistema limitado por interferencia
  - La capacidad multiacceso depende de la interferencia total recibida, del tipo de servicio y difiere según el enlace:
    - UL: Si aumentan los usuarios aumenta la interferencia y la potencia en los
       UE para misma SIR, hasta llegar al límite de capacidad
    - DL: Límite cuando la potencia del Nodo B iguala a la máxima disponible

$$\frac{P_{r_{ik}}}{I_{tot} + P_n} \cdot \frac{W}{R_k} \le \left(\frac{E_b}{N_0}\right)_k$$

- Cálculos de capacidad complicados y aproximados
- Aproximación en cálculos analíticos (UL): control de potencia ideal, distribución de carga uniforme en la célula, un solo tipo de servicio



# UMTS (VI)

### Capacidad celular: UL

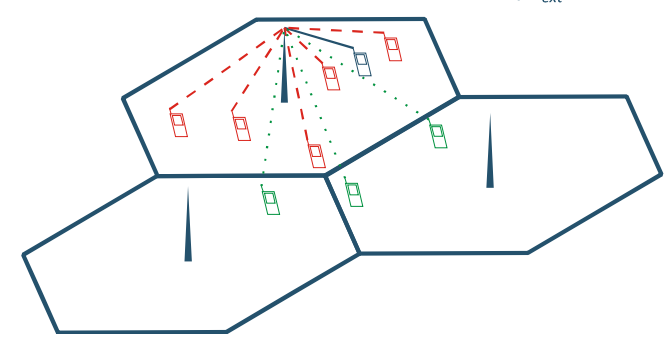
$$\frac{E_b}{N_0} = \frac{P_r/R}{\left(I_{int} + I_{ext} + P_n\right)/W}$$

$$f = 1 + \frac{I_{ext}}{I_{int}}$$

$$I_{int} = P_r(N-1)\alpha$$

$$\frac{E_b}{N_0} = \frac{P_r}{P_r (N-1)\alpha f + P_n} G_p$$

- Señal deseada, P,
- -- Interferencia intracelular,  $I_{int}$
- $\cdots$  Interferencia intercelular,  $I_{ext}$



- o  $E_b/N_o$ : umbral para BER asociada
- $\circ$   $P_r$ : potencia recibida
- W: tasa de chips
- R: velocidad binaria del servicio
- $\circ$   $I_{int}$ ,  $I_{ext}$ : interferencia inter e intracelular
- $\circ$   $P_n$ : potencia de ruido térmico
- o f: factor de reutilización
- $\circ$   $\alpha$ : factor de actividad,  $\alpha$  <1



# UMTS (VII)

Capacidad celular: UL

$$P_r = \frac{P_n}{\frac{G_p}{E_b/N_0} - (N-1)\alpha f}$$

$$N_{m lpha x} = 1 + \frac{G_p}{\alpha f(E_b/N_0)}$$

$$X = \frac{N-1}{N_{m\acute{a}x} - 1}$$

○ Capac. asintótica,  $N_{max}$ :  $P_r \rightarrow \infty$ ,  $P_t \rightarrow \infty$ 

Sistemas 2G-4G

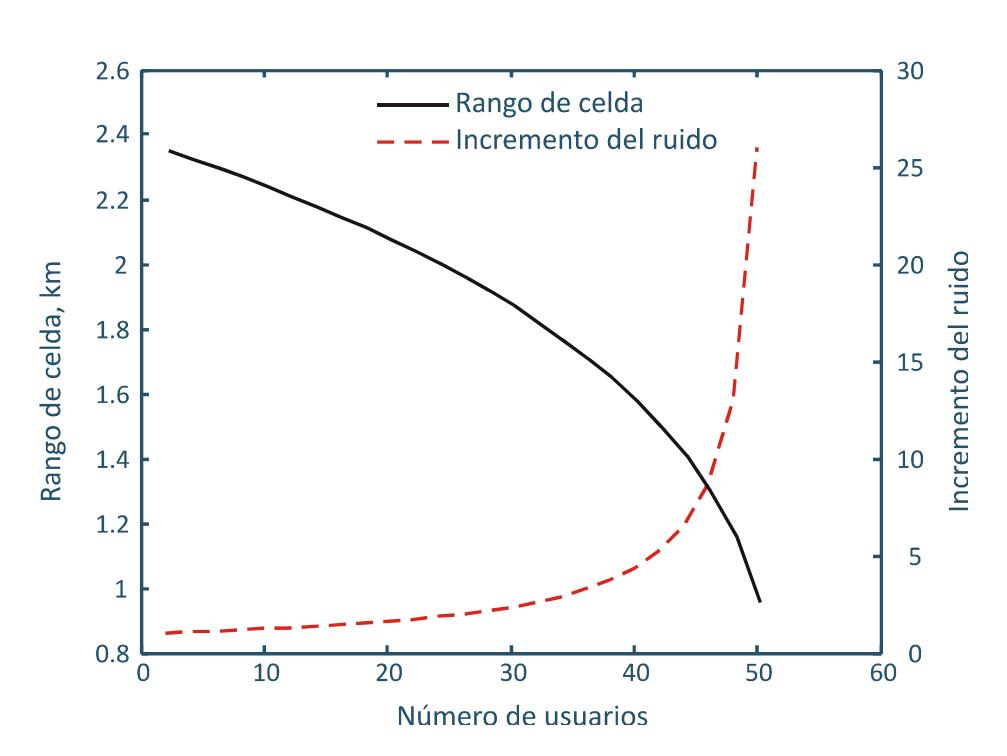
○ Factor de carga, X: N<<N<sub>max</sub>

$$S = \frac{E_b}{N_0} \cdot \frac{1}{1 - X} \cdot KT_0 RF_r$$

$$S(dBm) = -174 + NF_r (dB) + 10 \log R (bit / s) + \left(\frac{E_b}{N_0}\right)_{dB} - 10 \log (1 - X)$$

# **UMTS (VIII)**

- Capacidad celular: UL
  - Capacidad y cobertura están relacionados



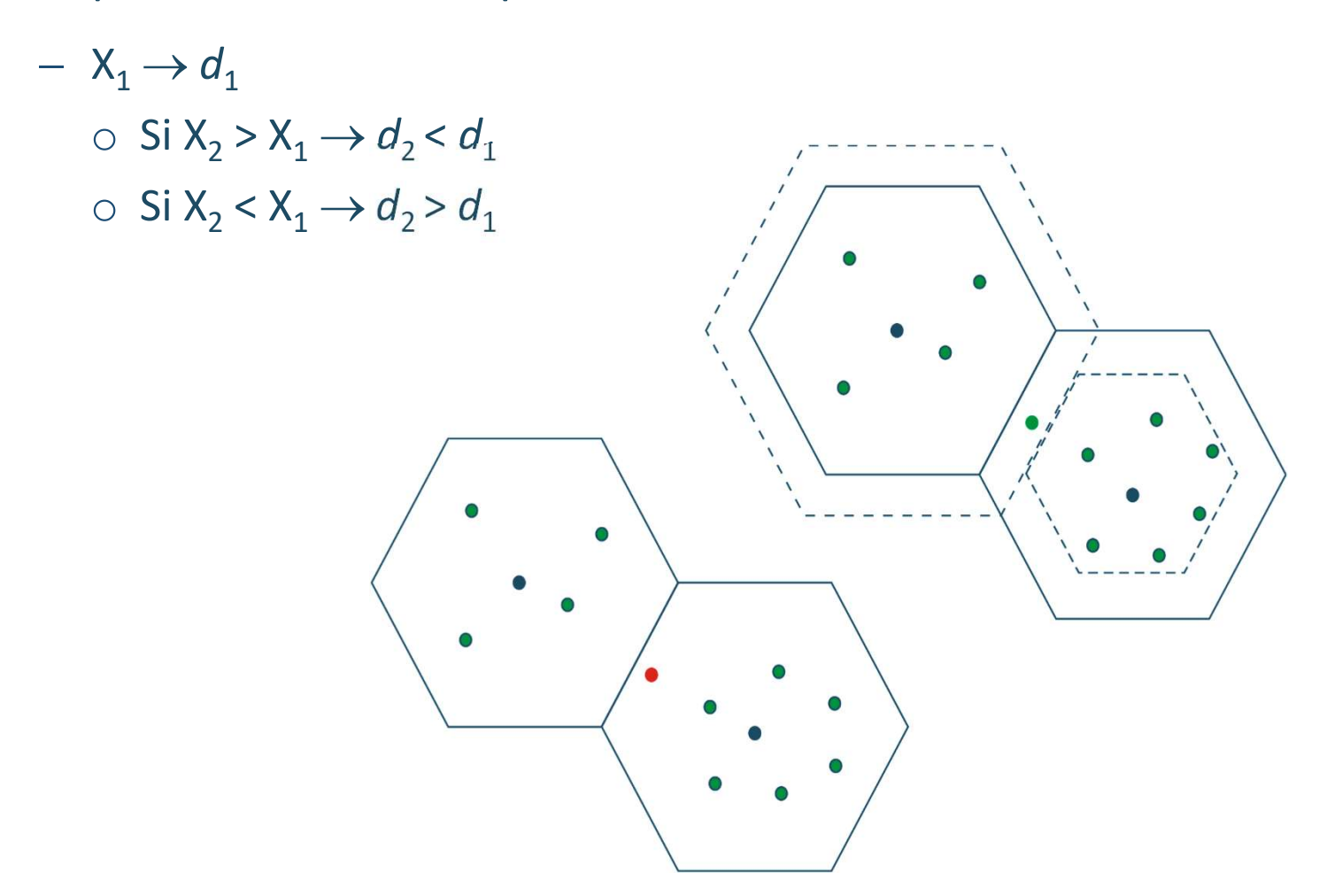
$$NFR = \frac{I_{int} + I_{ext} + P_n}{P_n}$$

$$NFR = \frac{1}{1 - X}$$



# UMTS (IX)

Capacidad celular: respiración celular





# UMTS (X)

- Capacidad celular: tráfico
  - Aprox. de Viterbi: relaciona GOS ( $p_{out}$ ) e intensidad de tráfico (A) considerando  $\alpha$ , f y desviación del control de potencia,  $\sigma_c$

$$p_{out} = Q \left( \frac{N' - \alpha A f \varphi_c}{e^{(\gamma \sigma_c)^2} \sqrt{\alpha A f}} \right) \qquad B = \frac{\left[ Q^{-1} (p_{out}) \right]^2}{N'}$$

$$A = \frac{N'}{\alpha f} F(B, \sigma_c)$$

$$N' = \frac{G_{\rho} X_{UL}}{\left(E_{b} / N_{0}\right)}$$

$$B = \frac{\left[Q^{-1} \left(p_{out}\right)\right]^{2}}{N'}$$

$$F(B, \sigma_{c}) = \frac{1}{\varphi_{c}} \left[1 + \frac{\varphi_{c}^{3} B}{2} \left(1 - \sqrt{1 + \frac{4}{\varphi_{c}^{3} B}}\right)\right]$$

$$\gamma = \ln(10)/10$$

$$\varphi_c = e^{(\gamma \sigma_c)^2/2}$$



## **UMTS (XI)**

- Capacidad celular: múltiples servicios
  - M usuarios de S servicios distintos

$$\left(\frac{E_b}{N_0}\right)_j = \frac{P_{r,j}/R_j}{\left(\sum_{\substack{i=1\\i\neq j}}^{M} \alpha_i P_{r,i} + P_n\right)/W} = \frac{P_{r,j}}{\sum_{\substack{i=1\\i\neq j}}^{M} \alpha_i P_{r,i} + P_n} \cdot G_{\rho,j}$$

Factor de carga

$$\lambda_{j} = \frac{\alpha_{j}}{\alpha_{j} + \frac{G_{p,j}}{(E_{b}/N_{0})_{j}}}$$

$$\lambda_{j} = \frac{\alpha_{j}}{\alpha_{j} + \frac{G_{p,j}}{\left(E_{b}/N_{0}\right)_{j}}}$$

$$NFR = \frac{I_{tot}}{P_{n}} = \frac{1}{1 - X_{UL}} \qquad M_{I} = -10log(1 - X_{UL})$$

$$X_{UL} = \sum_{m=1}^{M} \lambda_{m} = \lambda_{1} \cdot M_{1} + \lambda_{2} \cdot M_{2} + \ldots + \lambda_{S} \cdot M_{S}$$

$$X_{UL} = f \sum_{m=1}^{M} \lambda_{m}$$
Sistemas 2G-4G

# **UMTS (XII)**

Capacidad celular: DL

$$\frac{E_b}{N_0} = \frac{P_{i,1} \beta \phi_i / R_i}{\left(I_{int} + I_{ext} + P_n\right) / W}$$

$$I_{int} = P_{i,1} (1 - \beta \phi_i) (1 - o_i)$$

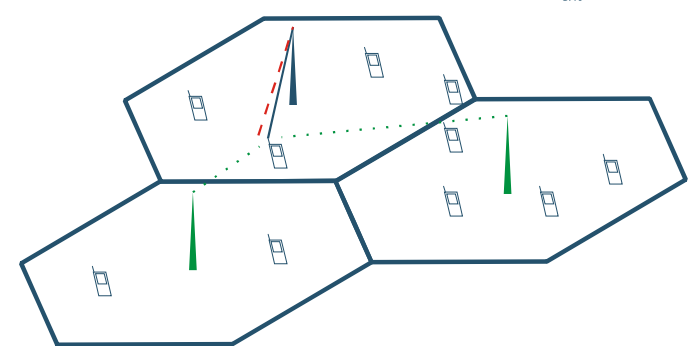
$$I_{ext} = \sum_{j=2}^{J} P_{i,j} = \sum_{j=1}^{J} P_{i,j} - P_{i,1} = (f_i - 1) P_{i,1}$$

$$\circ \quad \beta: \% \text{ pot. asignada a canales de tráfico}$$

$$\circ \quad P_1 \beta \phi_i: \% \text{ pot. asignada a usuario } i\text{-ésimo}$$

-- Interferencia intracelular, Iin

· · · Interferencia intercelular, I<sub>ext</sub>



- o: factor de ortogonalidad,  $o \in [0,1] \rightarrow I_{int}$

$$\frac{E_b}{N_0} = \frac{P_{i,1} \beta \phi_i G_{p,i}}{P_{i,1} (1 - \beta \phi_i) (1 - o_i) + P_{i,1} (f_i - 1) + P_n}$$

$$\frac{E_{b}}{N_{0}} = \frac{P_{i,1} \beta \phi_{i} G_{p,i}}{P_{i,1} (1 - \beta \phi_{i}) (1 - o_{i}) + P_{i,1} (f_{i} - 1) + P_{n}} \quad P_{i,1} = \frac{P_{n}}{\beta \phi_{i} \left(\frac{G_{p,i}}{E_{b}/N_{0}} + 1 - o_{i}\right) - f_{i} + o_{i}} \quad \Box$$

# UMTS (XIII)

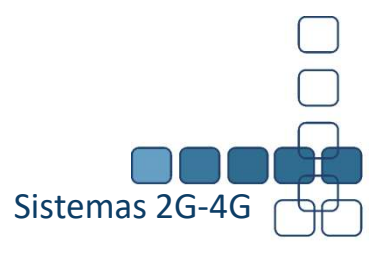
### Cobertura celular

- La potencia requerida y el alcance dependen de usuarios activos en la célula
- Análisis aproximado. Con varios servicios se busca el más limitante en UL y DL
- Con tráficos mixtos, el análisis de cobertura y capacidad más fiable se hace mediante simulaciones

$$PIRE(dBm) = P_t + G - L$$

$$S(dBm) = -174 + 10\log(R(bit/s)) + NF_r + \binom{E_b}{N_o} + M_I$$

$$L_{max}(dB) = PIRE - S + G_r + G_{SHO} + G_{div} - L_{edif+otros}$$



# UMTS (XIV)

# Balance de enlaces: ejemplo voz

Parámetro	UL	DL	Consideraciones
Velocidad del servicio, R (bit/s)	12200	12200	
Potencia c. tráfico, $P_t$ (dBm)	21	42,5	Potencia Nodo B: 43 dBm (β=0,9)
Potencia media/usuario, P <sub>u</sub> (dBm)	21	28,6	Se consideran 25 usuarios
Factor actividad y reutilización, $lpha/f$	0,4/1,6	0,4/1,6	
Pérdidas cables y conectores $Tx/Rx$ , $L_f$ (dB)	0/3	3/0	
Ganancia antena Tx/Rx, $G_{t/r}$ (dBi)	0/18	18/0	
PIRE (dBm)	21	43,6	
Figura de ruido del RX, NF <sub>r</sub> (dB)	2	8	
Factor de carga, X (%)	55	55	
Factor de ortogonalidad, o	0	0,4	
Margen de interferencia, $M_I$ (dB)	3,5	1,1	MI=-10log (1-X)
Desv. típica del control de pot., $\sigma_c$ (dB)	2	2	$\rho_c$ =exp(( $\gamma\sigma_c$ ) <sup>2</sup> /2) ,, $\gamma$ =ln(10)/10
$E_b/N_0$ (objetivo/efectiva) (dB)	5,3/5,8	7,9/8,4	$(E_b/N_0)_{ef} = (E_b/N_0)_{obj} + 10log(\rho_c)$
Sensibilidad del receptor, S (dBm)	-121,8	-115,6	$S=-174+NF_r+10\log(R(bit/s))+(E_b/N_0)_{ef}+M_I$
Ganancia por SHO/diversidad (dB)	2/2	2/0	Macrodiversidad y diversidad
Pérdidas: pen. edificios/cuerpo (dB)	15/2,5	15/2,5	
Margen log-normal (dB)	10,2	10,2	Desv. lentos, $t\approx$ 1,28 ( $x=90\%$ ) y $\sigma_{\rm L}$ =8 dB
Atenuación máxima , L <sub>max</sub> (dB)	134,1	133,5	HATA-COST231 con $f_{\rm UL}$ =1950 MHz, $f_{\rm DL}$ =2140 MHz, $h_b$ =25 m y $h_m$ =1,5 m (otros modelos)
Cobertura, d (km)	0,755	0,665	Equilibrio de enlaces

# UMTS (XV)

# Balance de enlaces: ejemplo datos

Parámetro	UL	DL	Consideraciones
Velocidad del servicio, R (bit/s)	384000	384000	
Potencia disponible (dBm)	21	39,16	
Potencia Tx por UEs en borde, $P_t$ (dBm)	21	33,04	
Ganancia antena Tx/Rx, $G_{t/r}$ (dBi)	0/18	18/0	
Pérdidas cables y conectores $Tx/Rx$ , $L_f$ (dB)	0/3	3/0	
PIRE (dBm)	21	48,04	
Figura de ruido del RX, NF <sub>r</sub> (dB)	2	8	
Factor de carga, X (%)	47,51	65	
Factor de ortogonalidad, o	0	0,4	
Margen de interferencia, $M_{l}$ (dB)	2,80	1,31	MI=-10log (1-X)
Desv. típica del control de pot., $\sigma_c$ (dB)	1,50	1,50	$\rho_c$ =exp(( $\gamma\sigma_c$ ) <sup>2</sup> /2) ,, $\gamma$ =ln(10)/10
$E_b/N_0$ (objetivo/efectiva) (dB)	1,3/1,56	1,10/1,36	$(E_b/N_0)_{ef} = (E_b/N_0)_{obj} + 10\log(\rho_c)$
Sensibilidad del receptor, S (dBm)	-111,80	-107,49	S=-174+ $NF_r$ +10log( $R$ (bit/s))+( $E_b/N_o$ ) <sub>ef</sub> + $M_I$
Ganancia por SHO + diversidad (dB)	5	2	Macrodiversidad y diversidad
Pérdidas: pen. edificios/cuerpo (dB)	15/0	15/0	
Margen log-normal (dB)	8	8	
Atenuación máxima , L <sub>max</sub> (dB)	129,80	134,53	HATA-COST231 con $f_{\rm UL}$ =1950 MHz, $f_{\rm DL}$ =2140 MHz, $h_b$ =25 m y $h_m$ =1,5 m (otros modelos)
Cobertura, d (km)	0,572	0,711	Equilibrio de enlaces

# **UMTS (XVI)**

- Hata-COST231
  - Extensión del modelo de Okumura-Hata para (1500< f < 2000 MHz)</li>

$$L = F + B \log d - E + G \quad (dB)$$

Unidades:  

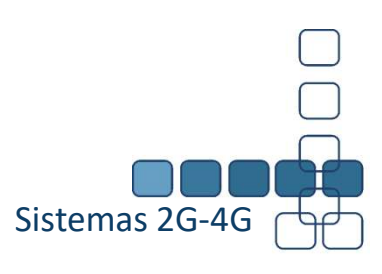
$$f \rightarrow MHz$$
  
 $d \rightarrow km$   
 $h_b, h_m \rightarrow m$ 

$$F = 46.3 + 33.9 \log f - 13.82 \log h_b$$

B y  $E \equiv$  se definen como en el modelo original de Okumura-Hata

G = 0 dB ciudades de tamaño medio y áreas suburbanas

G = 3 dB para áreas metropolitanas



#### LTE (I)

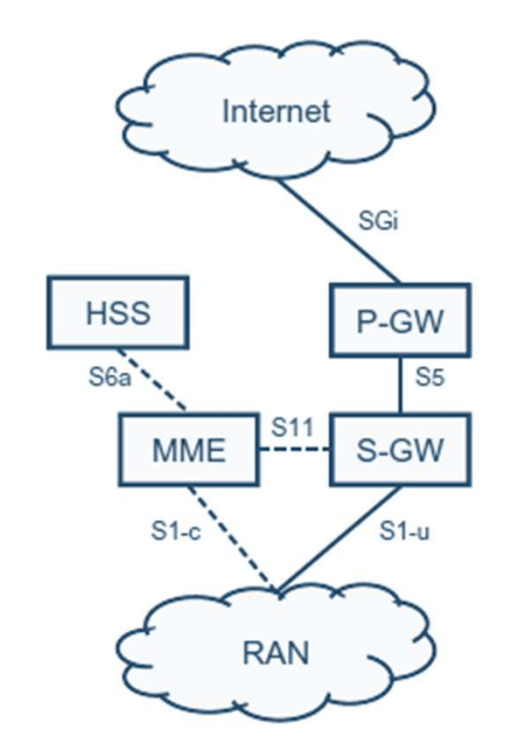
- LTE (Long Term Evolution), Características (LTE release 8)
  - Flexibilidad del espectro: 900 / 1800 / 2000 / 2600 MHz (y otras)
  - Flexibilidad de ancho de banda (1,4 / 3 / 5 / 10 / 15 / 20 MHz)
  - Tasas de 100 Mbit/s en DL y 50 Mbit/s en UL
  - Retardos reducidos en establecimiento y transmisión (latencia inferior a 10 ms)
  - Modos dúplex FDD y TDD
  - Multiacceso OFDMA en DL y DFTS-OFDM (SC-FDMA) en UL
  - Modulaciones QPSK, 16QAM y 64 QAM
  - Técnicas multiantena: diversidad, conformación de haces (beamforming) y
     MIMO (Multiple Input, Multiple Output)
  - Técnicas de protección frente a las variaciones del canal: rate control, channeldependent scheduling, hybrid ARQ with soft combining
  - Coordinación de interferencia (ICIC, Inter-Cell Interference Coordination)
  - Difusión mediante SFN (MBSFN, Multicast Broadcast SFN)

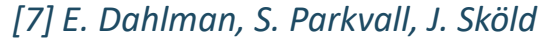


# LTE (II)

#### Arquitectura

LTE RAN (Radio Access Network) y núcleo de red EPC (Evolved Packet Core)





Core Network

S-GW

MME

MME

S1-u

S1-c

S1-c

S1-u

S1-u

S1-u

ENodeB

ENodeB

eNodeB: E-UTRAN NodeB HSS: Home Subscriber Server

MME: Mobility Management Entity

P-GW: Packet-Data Network Gateway

S-GW: Serving Gateway



#### LTE (III)

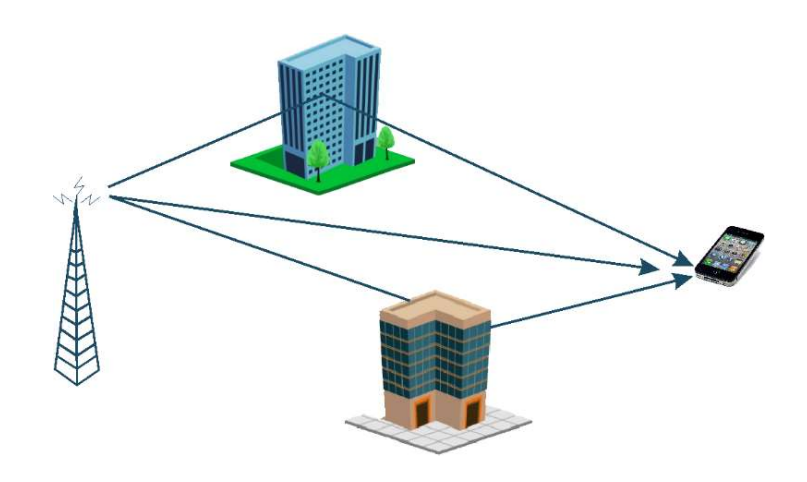
#### Arquitectura

- Núcleo de red (EPC)
  - HSS: base de datos con información de suscripción del usuario
  - $\circ$  MME: nodo que maneja claves y estados del UE (IDLE  $\rightarrow$  ACTIVE)
  - P-GW: conecta EPC a internet con asignación de direcciones IP y aplicación de QoS según PCRF (Policy and Charging Rules Function)
  - S-GW: nodo que conecta EPC y LTE RAN con apoyo a la movilidad de los usuarios entre eNodeBs o entre tecnologías
- Red de acceso radio (LTE RAN)
  - Arquitectura plana con eNodeB
    - Responsable de funciones radio en una o varias células (nodo lógico)
    - Conexión con EPC a través de interfaz S1 (c-plano control u-plano usuario)
    - La interfaz X2 soporta movilidad de usuarios y otras funciones (ICIC)
  - Nuevos nodos en releases 9 y 10 al introducir otras funciones

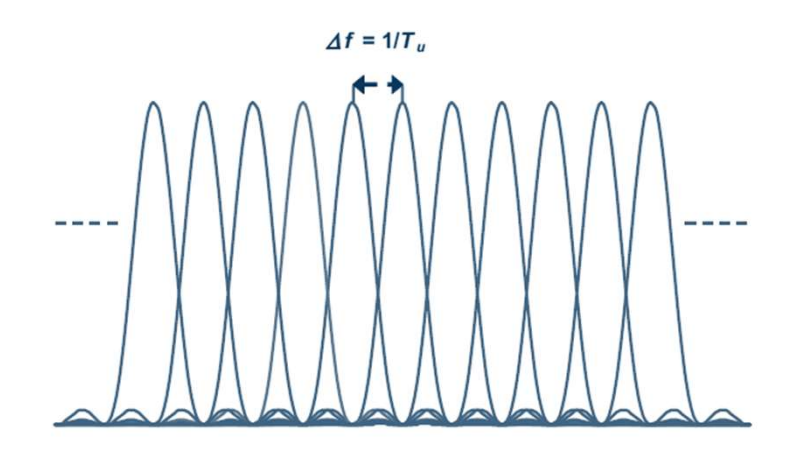


# LTE (IV)

OFDM: transmisión multi-portadora



- Múltiples señales de banda estrecha multiplexadas en frecuencia (OFDM)
- Inconveniente UL: variaciones en la potencia instantánea afectan al consumo del transmisor y al coste del amplificador (DFTS-OFDM)



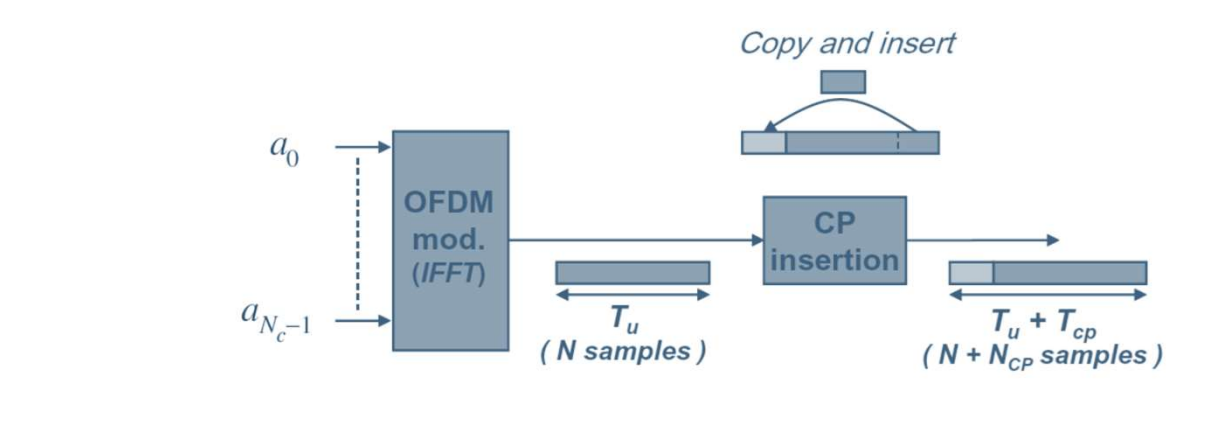
 $T_u \equiv$  tiempo útil del símbolo de modulación por subportadora

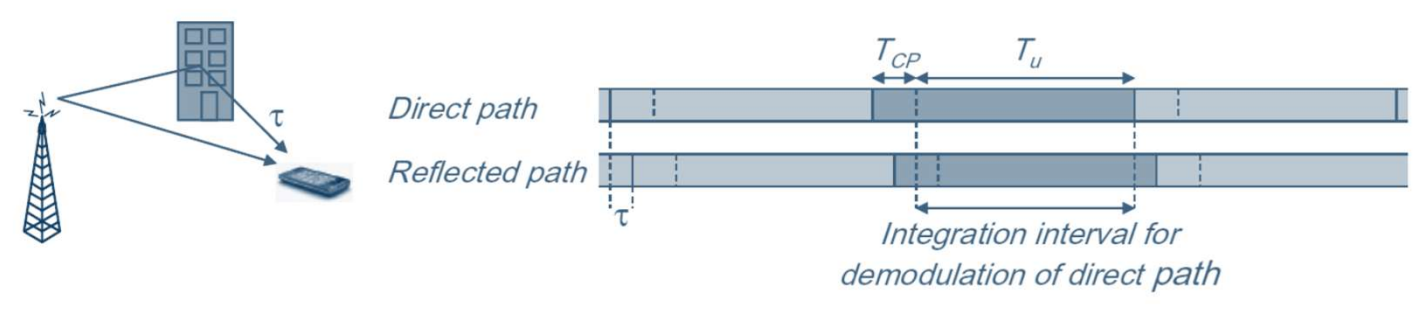
 $\Delta f \equiv$  separación entre subportadoras



#### LTE (V)

- OFDM: prefijo cíclico
  - Protección frente a la dispersión temporal del canal radio
  - $T=T_{cp}+T_u$ : Reducción de la tasa de símbolos OFDM ○ Si  $\Delta f \downarrow \to T_u \uparrow \to T_u / T \uparrow$ : sensibilidad a dispersión Doppler o ruido de fase
  - Ortogonalidad si la dispersión temporal es inferior a  $T_{cp} \rightarrow \&$  distancia?

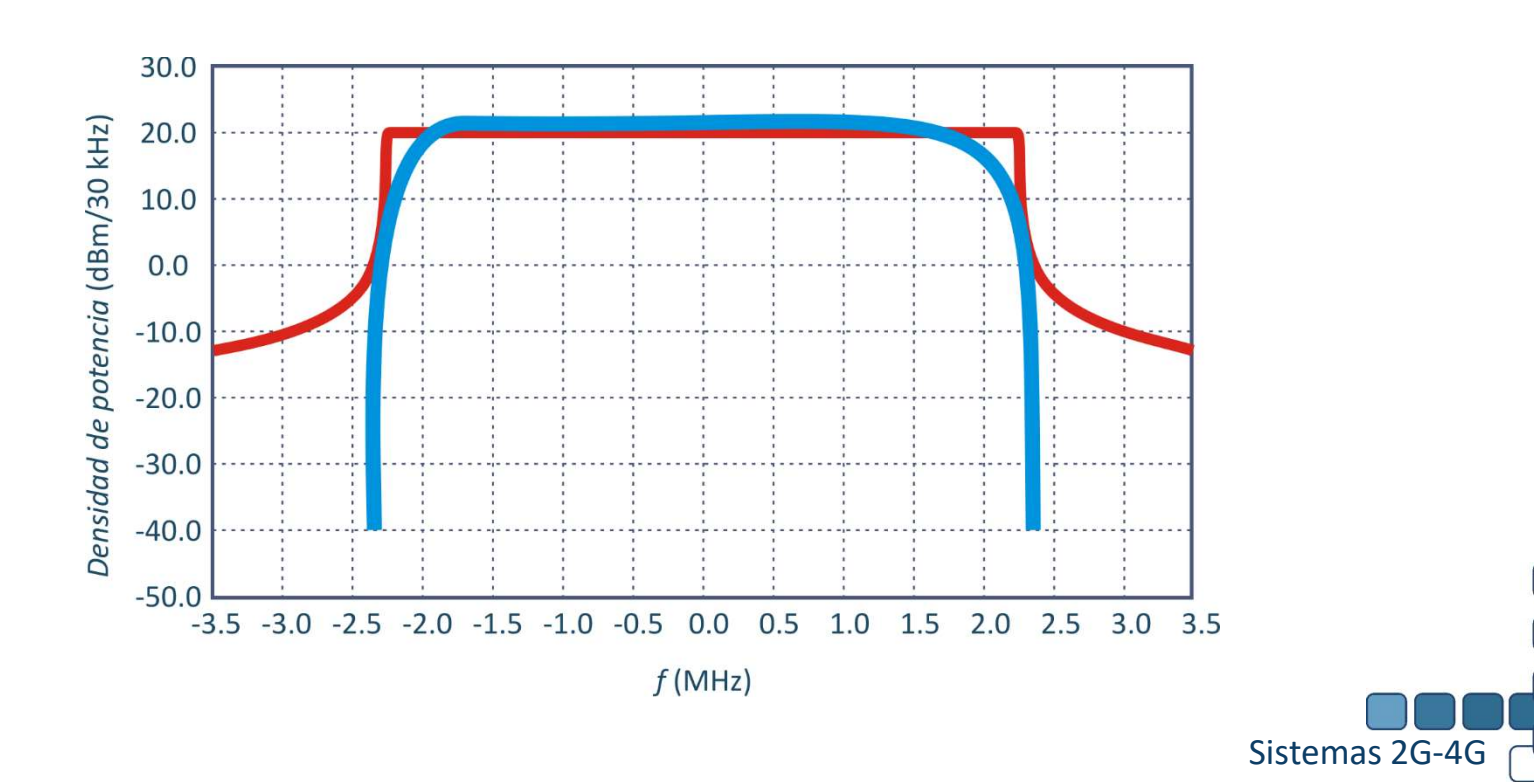




Sistemas 2G-4G

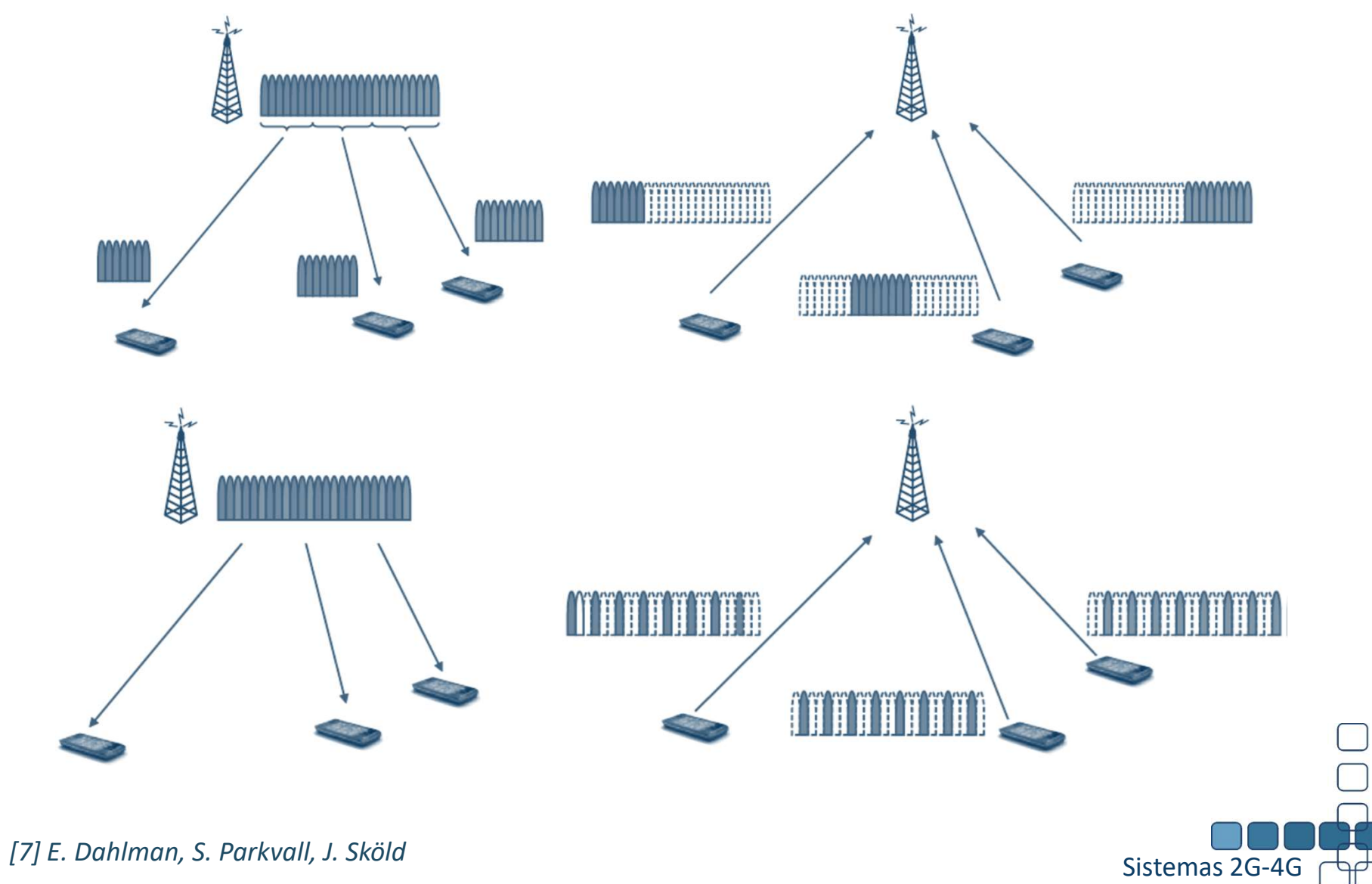
#### LTE (VI)

- OFDM: ancho de banda de la señal
  - En primera aproximación:  $B=N_c\cdot\Delta f$
  - Emisiones fuera de banda asociadas a los lóbulos laterales de subportadoras:
     aplicar filtrado o enventanado en el dominio del tiempo
  - En la práctica se requiere del orden de un 10% de banda de guarda:
    - $\circ$  *Ejemplo*: para canalización de 5 MHz,  $\Delta_f$ =15 kHz,  $N_c$ =300 y B=4,5 MHz



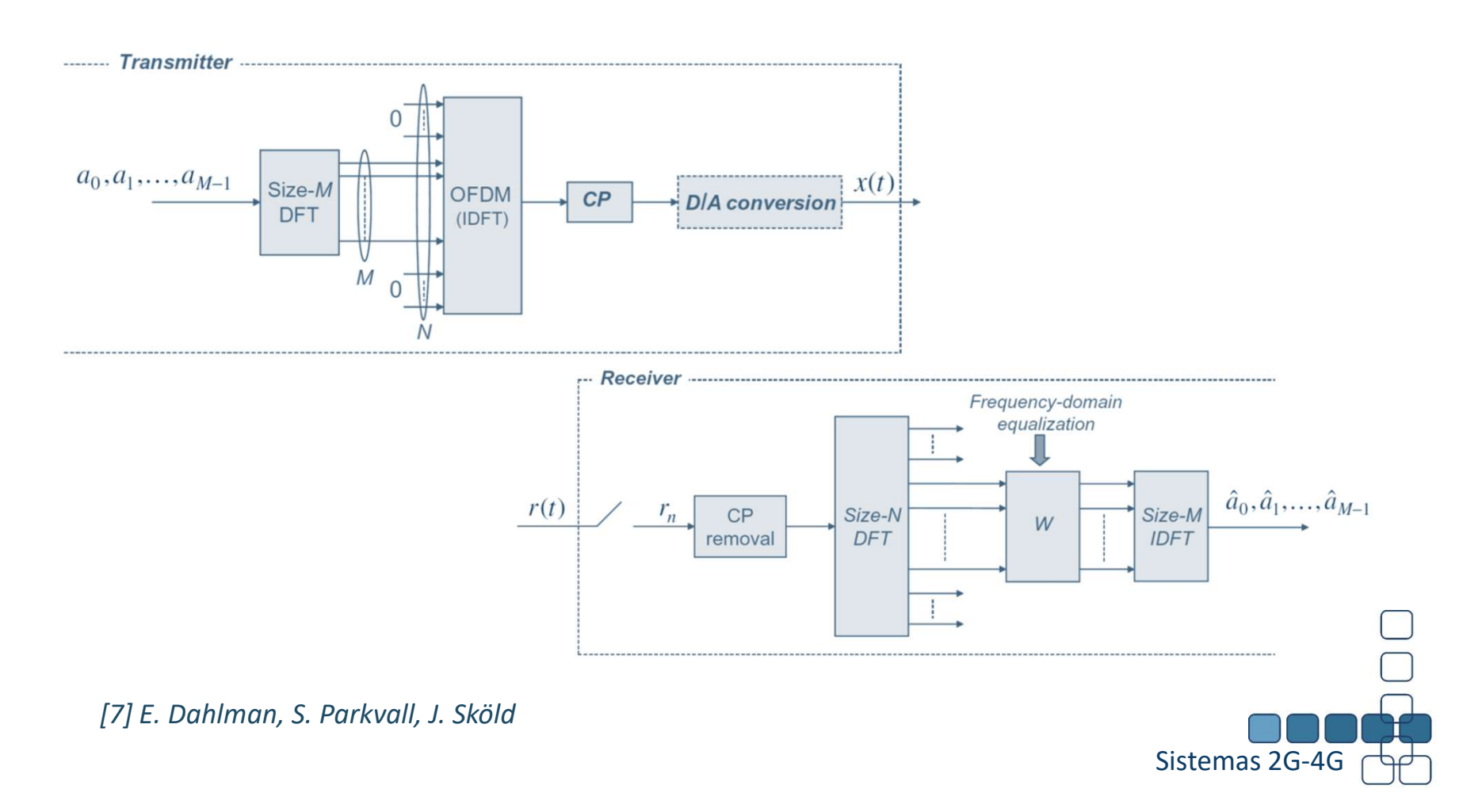
# LTE (VII)

#### **OFDMA**



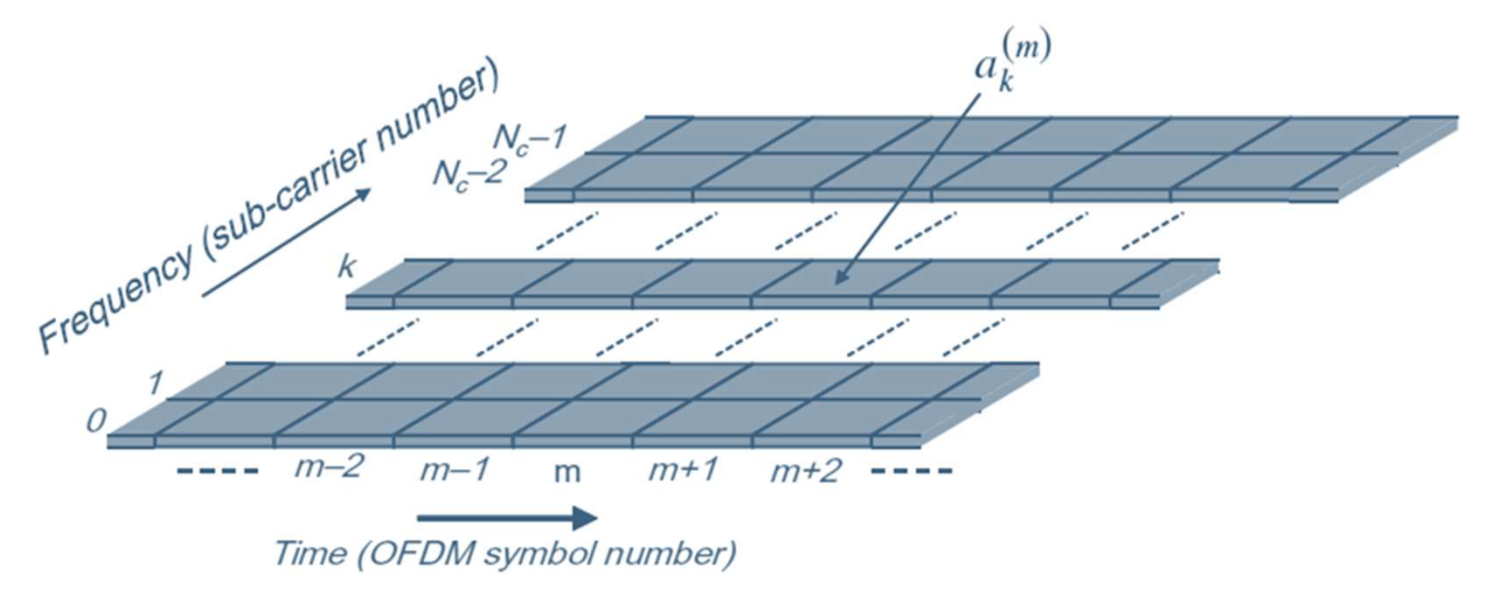
# LTE (VIII)

- UL: DFTS-OFDM (*DFT Spread OFDM*) o SC-FDMA
  - Inconveniente OFDM: variaciones importantes en la potencia instantánea de la señal transmitida con baja eficiencia del amplificador de potencia → consumo de potencia y coste de UE en UL



## LTE (IX)

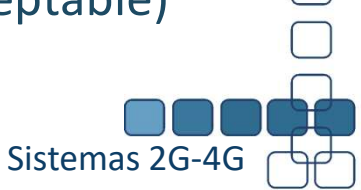
Recurso físico en la transmisión OFDM



[7] E. Dahlman, S. Parkvall, J. Sköld

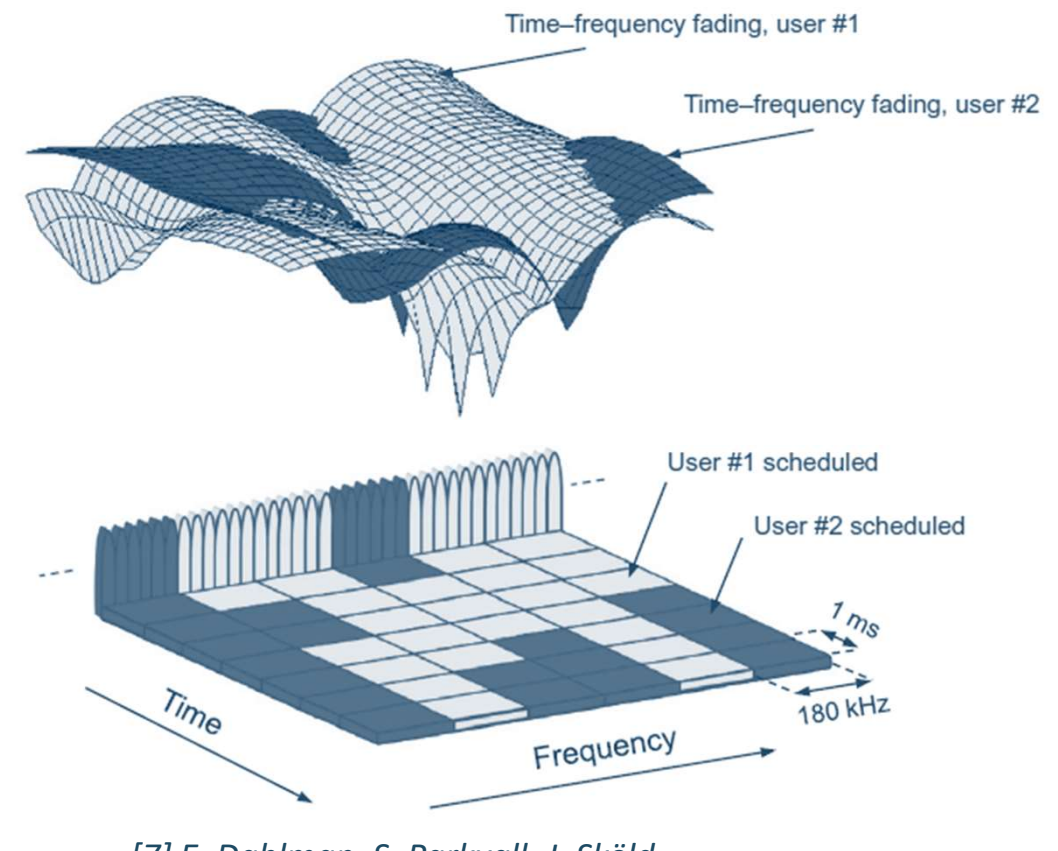
- Recursos tiempo-frecuencia compartidos dinámicamente entre usuarios
- Separación entre subportadoras,  $\Delta_f$ = 15 kHz o reducida ( $\Delta_f$ = 7.5 kHz)
- Implementación Tx/Rx basado en FFT (no es obligatorio pero es común)

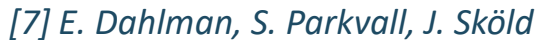
$$\circ f_s = 1/T_s = \Delta_f N_{FFT} = 15000 N_{FFT} \quad (N_{FFT} = 2048 \rightarrow f_s = 30,72 \text{ MHz, aceptable})$$



# LTE (X)

- Asignación dinámica de recursos
  - Recursos tiempo-frecuencia asignados por planificador (scheduler)
  - Decisiones: 1ms 180 kHz. A UE se le pueden asignar varios bloques de 180 kHz
     en cada intervalo de 1 ms

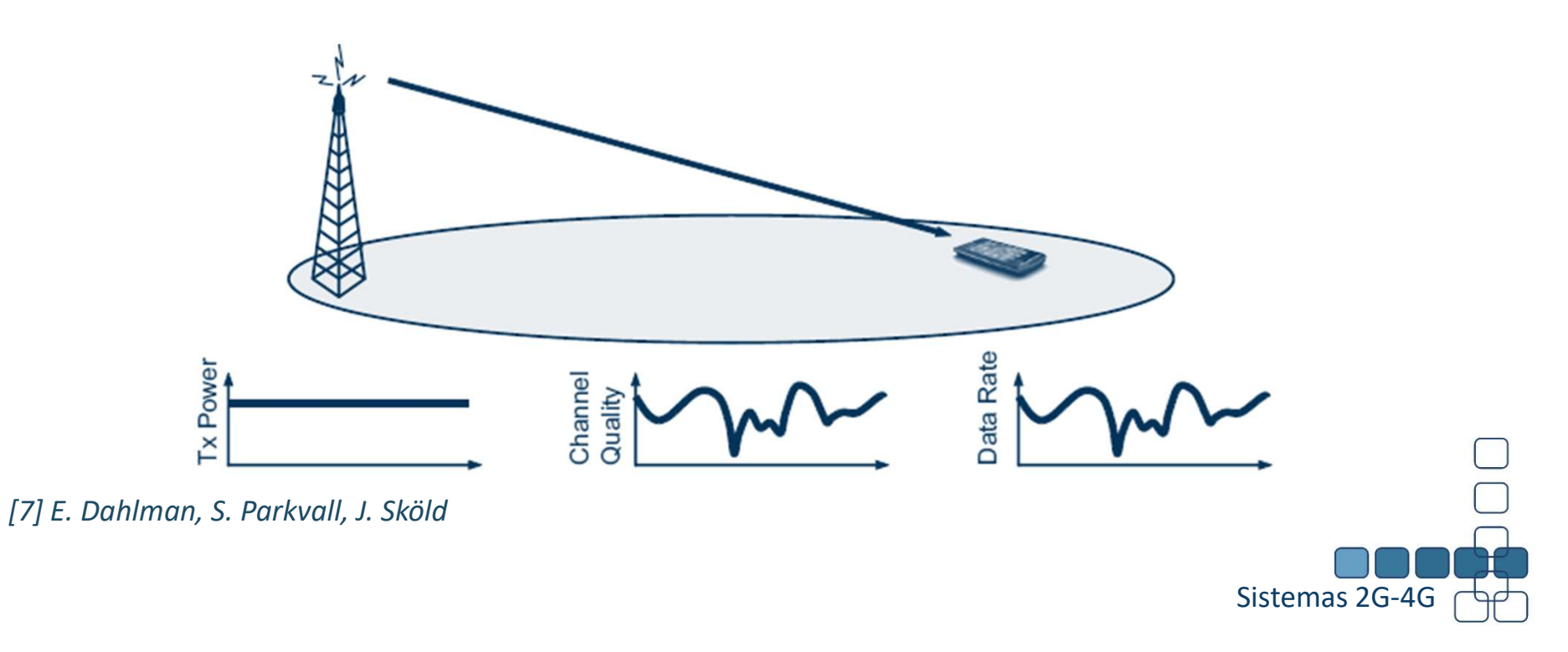






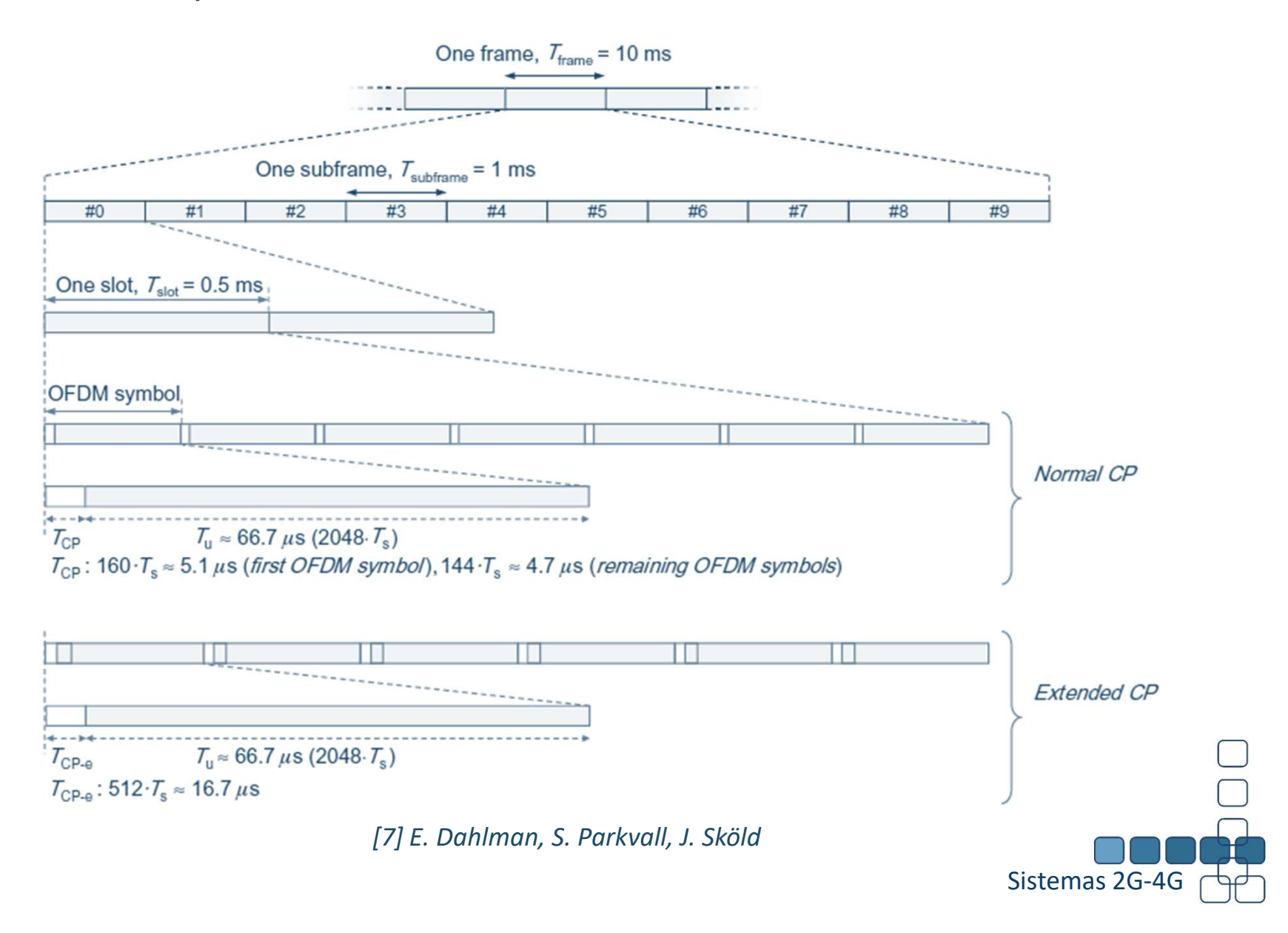
### LTE (XI)

- Asignación dinámica de recursos
  - El planificador también determina la velocidad a utilizar en cada transmisión
  - Ejemplo: enlace radio desfavorable: QPSK y tasa de código baja; enlace radio favorable: 16 QAM ó 64 QAM y tasa de código alta → AMC, Adaptive Modulation and Coding
  - Para realizar la planificación en DL se requiere conocer el estado del canal:
     envío de señales de referencia (CSI, Channel State Information → decisiones)



# LTE (XII)

#### Estructura temporal



#### LTE (XIII)

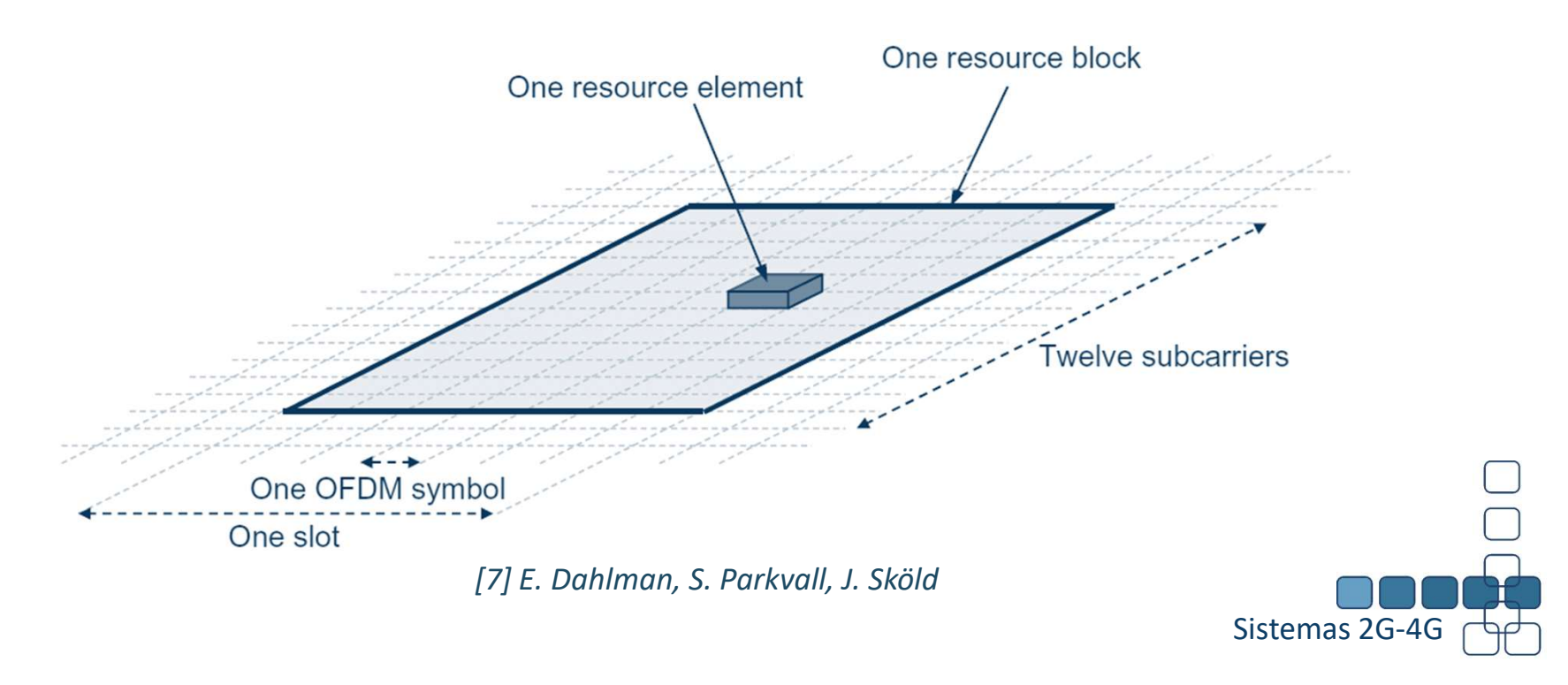
- Estructura temporal
  - Referencia temporal  $T_s$ : N<sub>FFT</sub>=2048,  $T_s$ = 1/(15000·2048)
    - $\circ$   $T_{frame}$ =307200  $T_s$ ,  $T_{subframe}$ =30720  $T_s$  y  $T_{slot}$ =15360  $T_s$
  - Prefijo cíclico (CP, Cyclic Prefix) normal o extendido
    - Normal: 7 símbolos por intervalo (CP primer símbolo mayor para completar)
    - Extendido: 6 símbolos
      - Menos eficiente (mayor exceso frente a  $T_{ij}$ )
      - Útil en escenarios con elevada dispersión del retardo (células extensas)
      - Necesario en transmisiones desde múltiples células (MBSFN) para cubrir dispersión temporal del canal y diferencias en los retardos de las diferentes células (comportamiento SFN)



## LTE (XIV)

#### Recursos físicos

- Combinación de asignaciones de tiempo y frecuencia
- Elemento de recursos (RE, Resource Element): subportadora modulada con M
   niveles (M=4, 16, 64 según sea QPSK, 16QAM o 64 QAM) en un símbolo OFDM
- Bloque de recursos (RB, Resource Block): 12 subportadoras consecutivas sobre un intervalo de 0,5 ms ( $T_{slot}$ ) con un ancho de banda de 180 kHz
- 1 RB=7·12=84 RE (CP normal) ,, 1 RB=6·12=72 RE (CP extendido)



## LTE (XIV)

#### Recursos físicos

- Par bloque de recursos (resource block pair): unidad básica de planificación (scheduling) formada por dos RB consecutivos en el tiempo en una subtrama
- Asignaciones de bloques de frecuencia con RB variable entre 1 y 110
- En frecuencia, las especificaciones permiten portadoras con cualquier número de RB entre 6 y 110

Ancho de banda nominal (MHz)	1,4	3	5	10	15	20
Ancho de banda ocupado en transmisión (MHz)	1,08	2,7	4,5	9	13,5	18
Número de RB (UL o DL)	6	15	25	50	75	100
Número de subportadoras	72	180	300	600	900	1200



#### LTE (XVI)

- Agregación de portadoras, CA (Carrier Aggregation release 10)
  - Combinar hasta 5 portadoras (component carriers) de diferentes anchos de banda (hasta 100 MHz)
  - UE pueden transmitir/recibir simultáneamente en múltiples portadoras
  - Compatibilidad hacia atrás con UE compatibles release 8/9
  - Aplicable sobre espectro fragmentado: capacidad de ofrecer servicios de alta velocidad a operadores en función de la disposición global de espectro
  - Es específica del terminal. Diferentes UE pueden tener diferentes conjuntos de portadoras: distribución de la carga y diferenciar capacidades en los UE



#### LTE (XVII)

Señales de referencia en el enlace descendente (DL)

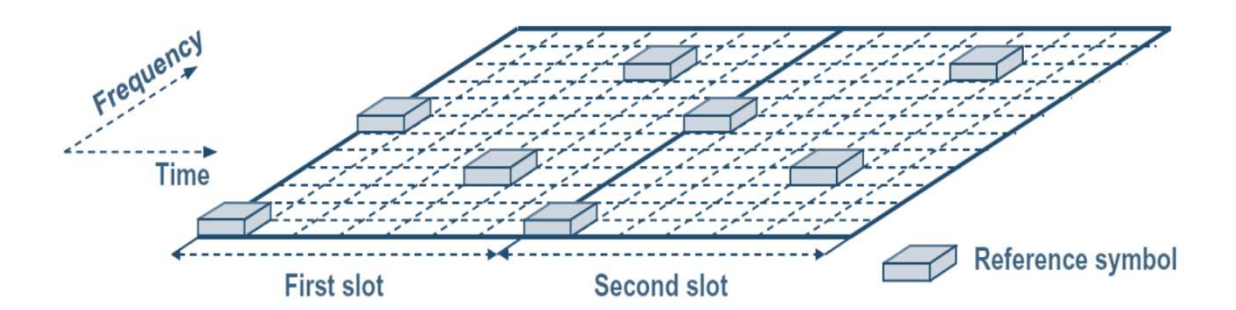
#### Las subtramas se dividen en una región de control y otra de datos

- Específicas de la célula, CRS (Cell-specific Reference Signals)
  - Transmitidas en cada subtrama y RB
  - Estimación de canal por UE salvo en algunos tipos de transmisión y CSI
  - Utilizadas como base para la selección de célula y decisiones de traspaso
- Específicas UE o de demodulación, DM-RS (DeModulation Reference Signals)
  - Transmitidas en RB asignados a UE
  - Estimación de canal para la demodulación del canal físico principal de datos
- De información de estado de canal, CSI (Channel State Information)
- Para MBSFN (Multicast Broadcast Single Frequency Network)
  - Transmisión en subtramas específicas
  - Estimación de canal por UE en transmisiones desde múltiples células
- De posicionamiento (release 9)
  - Estimación de la posición geográfica de UE

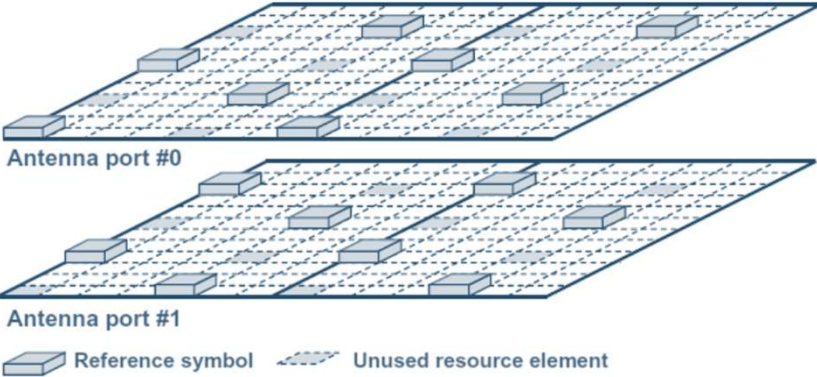


## LTE (XVIII)

Ejemplo: señales de referencia específicas de la célula, CRS



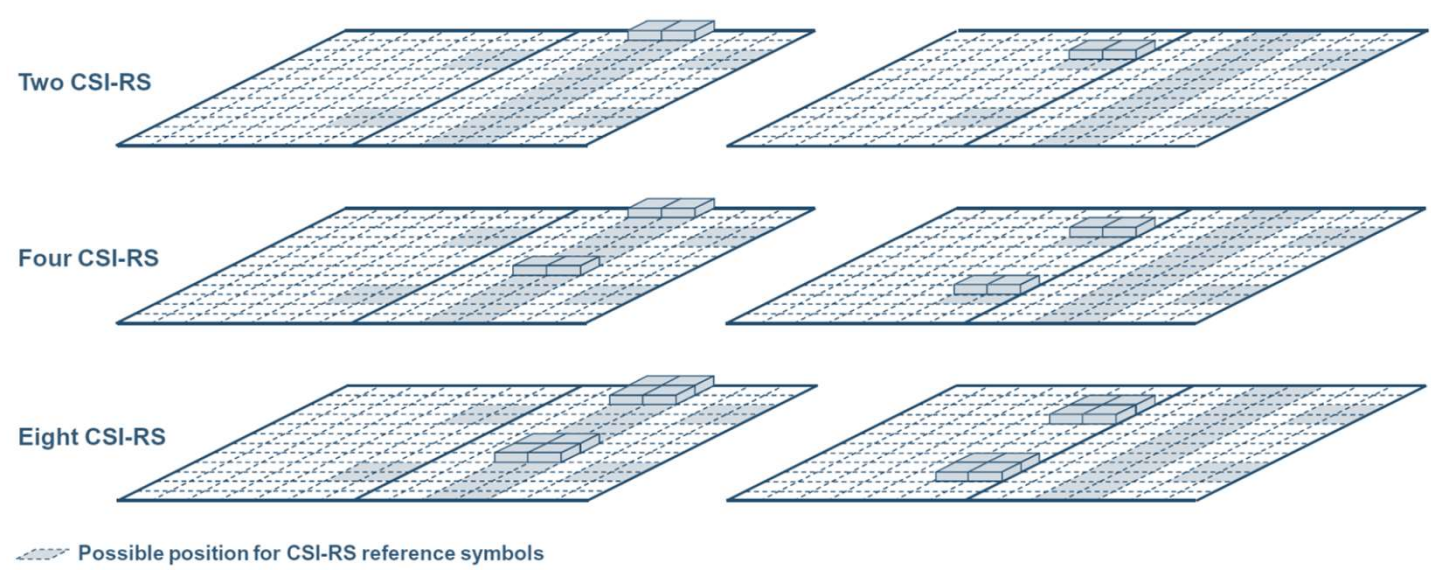
Estructura de las CRS con uno y dos puertos de antena. [7] E. Dahlman, S. Parkvall, J. Sköld



- Los valores de los símbolos de referencia forman una secuencia con un período de 10 ms (trama)
- Hay 504 secuencias y son diferentes para cada célula (identidad de célula)
- Multiplexación espacial: se dejan libres símbolos utilizados por otras antenas

## LTE (XIX)

Ejemplo: señales de referencia de estado de canal, CSI-RS



Ejemplos de diferentes posiciones para CSI-RS. [7] E. Dahlman, S. Parkvall, J. Sköld

- Adquisición de CSI por UE: planificación dependiente del canal, adaptación del enlace (velocidad) y ajustes para transmisión multi-antena
- Periodicidad de envío variable (5, 10, 20, 40 u 80 ms)
- Introducido para soportar multiplexación espacial de hasta 8 capas (Rel. 10)



#### LTE (XX)

Sincronización y búsqueda de celda

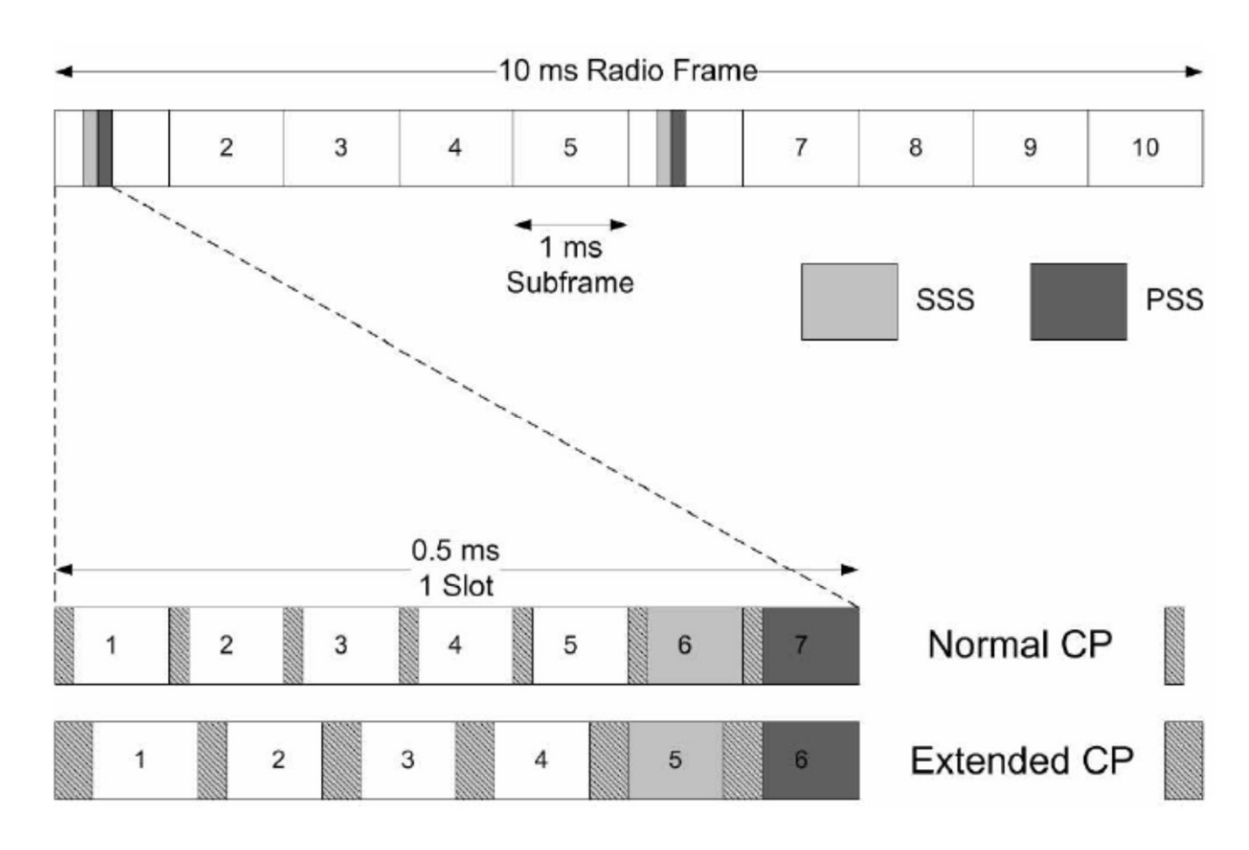
Antes de que un UE pueda acceder a la red, tiene llevar a cabo un procedimiento de búsqueda de celda que implica diversas tareas de sincronización

- Se usan dos señales físicas que se difunden en cada célula
  - PSS (Primary Synchronization Signal)
  - SSS (Secondary Synchronization Signal)
- Detección de PSS y SSS proporciona al UE
  - Sincronización en tiempo y frecuencia
  - o Identidad de capa física de la celda y longitud del prefijo cíclico
  - Información sobre el tipo de modo: FDD o TDD



# LTE (XXI)

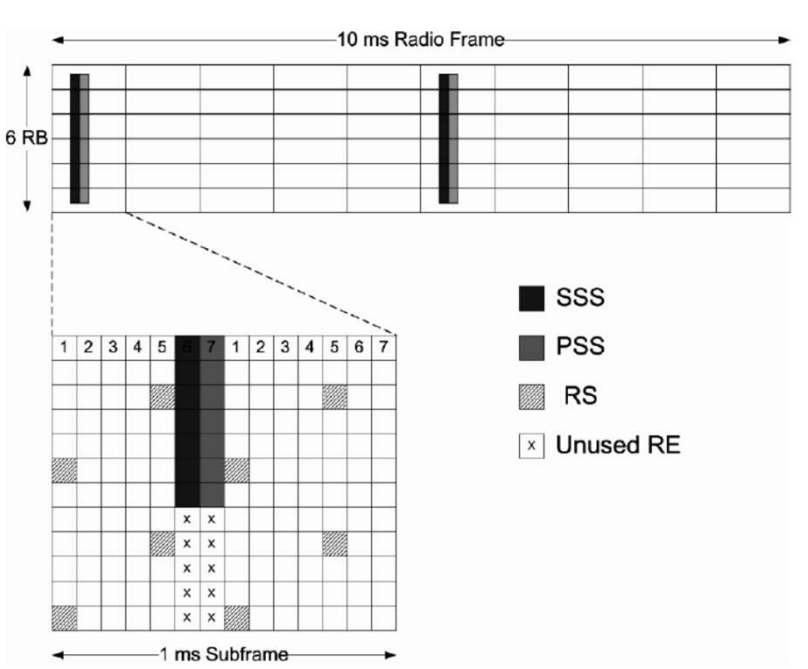
- Sincronización y búsqueda de celda: PSS y SSS en el tiempo
  - Se transmiten dos veces por trama
    - o PSS en el último símbolo OFDM de 1º y 11º slots de cada trama
    - SSS en el símbolo que precede al PSS





## LTE (XXII)

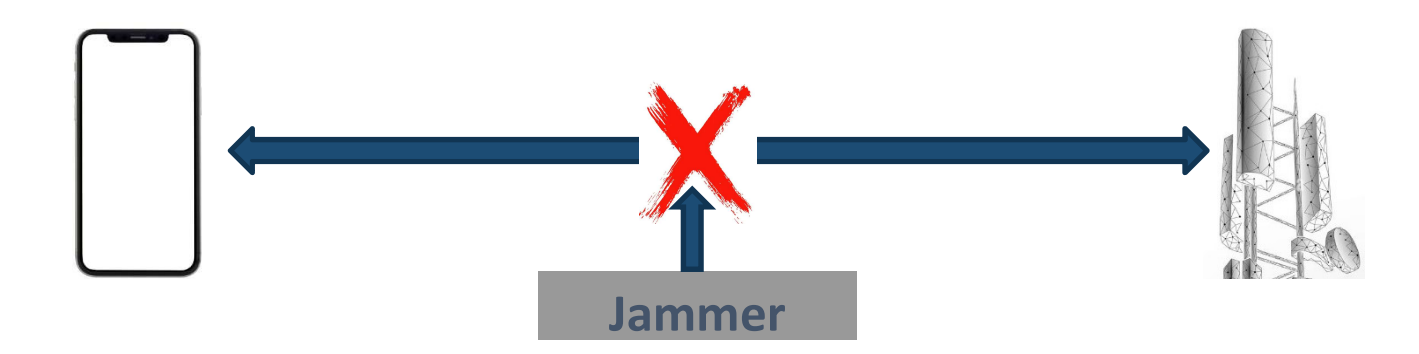
- Sincronización y búsqueda de celda: PSS y SSS en frecuencia
  - Se transmiten en los 6 RBs centrales de la banda (comp. Carrier)
    - o Permite al UE sincronizarse con independencia del BW disponible
    - Secuencia de 62 símbolos (sin usar 10)
    - Se transmite tb en estos RBs:
      - Canal PBCH
        - MIB (Master Information Block)
      - Parámetros esenciales acceso inicial





#### LTE (XXIII)

- Bloqueo intencionado de comunicaciones móviles
  - Uso intencionado y permitido para proteger recintos concretos (organismos gubernamentales)
  - Se basa en el uso deliberado de señales para interrumpir la comunicación
    - Diferente de las interferencias propias de los sistemas a considerar en planificación



- Fundamentos: atacar "principalmente" la capa física
  - o Emular carga en célula para evitar acceso en escucha del medio por parte del móvil
  - Reducir la relación señal a ruido en el receptor



#### LTE (XXIV)

- Bloqueo intencionado de comunicaciones 4G
  - Bloqueo de señales de sincronización y del canal PBCH
    - Es el método más sencillo: fuerza bruta
    - Las señales se transmiten ocupando 1.08 MHz (6 RBs) con independencia del BW del operador
    - Transmisión intencionada, continua y de banda estrecha en la frecuencia deseada
    - Esta estrategia requiere transmitir potencia elevada, es fácil de detectar la interferencia y neutralizarla
  - Bloqueo selectivo de PSS en el DL
    - Técnica más sofisticada y compleja
    - Para acceder a la celda, un UE lo primero que debe hacer es detectar la PSS
      - Bloqueo de símbolos OFDM en estructura de trama
    - Mayor dificultad al requerir sincronización temporal con la estructura de trama
      - Además la PSS pensada para ser detectada con niveles altos de interferencia
      - UEs pueden detectar de hecho celdas vecinas
    - Más efectivo: Tx PSS falsa
      - UEs no encuentran SSS ni la información MIB



## LTE (XXV)

- Cobertura y balance de enlaces
  - Valor máximo según  $T_g$  del PRACH

Formato	$T_a$ ( $\mu$ s)	<i>d</i> (km)
0	96,88	14,5
1	515,63	77,3
2	196,88	29,5
3	715,63	100,2

$$d = \frac{c \cdot T_g}{2}$$

Sensibilidad de recepción

$$P_n = kT_o BF_r$$
  
 $P_n(dBm) = -121, 4 + NF_r(dB) + 10log(N_{RB})$   
 $S(dBm) = -121, 4 + NF_r(dB) + 10log(N_{RB}) + SINR(dB) + M_I(dB)$ 

UL				
<i>B</i> (MHz)	<i>S(</i> dBm <i>)</i>			
1,4	-106,8			
3	-103			
5, 10, 15, 20	-101,5			

DL			
<i>B</i> (MHz)	<i>S</i> (dBm)		
1,4	-102,2		
3	-99,2		
5	-97		
10, 15, 20	-94		

3GPP: TS 36.104



# LTE (XXVI)

- Cobertura y balance de enlaces
  - SINR (Signal to Interference and Noise Ratio) necesaria en LTE
    - o 3GPP: TR 36.942. Ajuste experimental de la fórmula de Shannon
    - Tablas para diferentes tipos de modulación y tasas de código

Modulación	Tasa de código	SINR (dB)	$\eta$ (bit/s/Hz)
	1/8	-5,1	0,25
	1/5	-2,9	0,4
	1/4	-1,7	0,5
QPSK	1/3	-1,0	1,5
QP3K	1/2	2,0	1,0
	2/3	4,3	1,3
	3/4	5,5	1,5
	4/5	6,2	1,6
	1/2	7,9	2,0
16QAM	2/3	11,3	2,6
IOQAW	3/4	12,2	3,0
	4/5	12,8	3,2
	2/3	15,3	4,0
64QAM	3/4	17,5	4,5
	4/5	18,6	4,8



# LTE (XXVII)

# Cobertura y balance de enlaces: LTE - 1800 MHz

	Parámetro		UL	Consideraciones
Α	Potencia eNodeB/UE, $P_t$ (dBm)	30	23	eNodeB, PDSCH (TS 36.104), UE (TS 36.101)
В	Pérdidas Tx (cables, conectores), $L_{ct}$ (dB)	2	0	DL (1-6 dB RRH-0dB)
С	Ganancia antena Tx, $G_t$ (dBi)	18	0	Efecto del cuerpo del usuario (3 dB)
D	PIRE (dBm)	46	23	D=A-B+C
Е	Nº de bloques radio, N <sub>RB</sub>	25	6	5 MHz (DL) y 1,4 MHz (UL)
F	Figura de ruido Rx UE/eNodeB, NFr (dB)	4	3	
G	Potencia de ruido térmico, $P_n$ (dBm)	-103,5	-110,6	G=-121,4+10logE+F
Н	SINR (dB)	5,5	2,0	DL (QPSK y $r=3/4$ ) UL (QPSK y $r=1/2$ )
1	Margen de interferencia, $M_I$ (dB)	3	0,5	
J	Sensibilidad de recepción, S (dBm)	-95	-108,1	J=G+H+I
K	Margen desvanecimientos, M <sub>L</sub> (dB)	10,2	10,2	$t$ ≈1,28 ( $x$ =90%) y $\sigma_L$ =8 dB
L	Ganancia antena Rx, $G_r$ (dBi)	0	18	
M	Ganancia por diversidad Rx, G <sub>div</sub> (dB)	0	2	
N	Pérdidas Rx (cables), $L_{cr}$ (dB)	0	1	
0	Pérdida por penetración, $L_p$ (dB)	12	12	
Р	Atenuación compensable, L (dB)	118,8	127,9	P=D-J-K+L+M-N-O
Q	Cobertura interior, d (km)	0,3	0,5	Hata-COST231, $h_b$ =25m, $h_m$ =1,5m,gran ciudad

#### Bibliografía

- [1] M. Mouly, M-B. Pautet, *The GSM System for Mobile Communications*, Cell & Sys, 1992
- [2] J.M. Hernando Rábanos, *Comunicaciones Móviles*, Ed. Centro de Estudios Ramón Areces, 3ª Ed., 2015
- [3] S. R. Saunders, A. A. Zavala, *Antennas and Propagation for Wireless Communication Systems*, John Wiley & Sons, 2nd Ed., 2007
- [4] J.M. Hernando Rábanos, C. Lluch Mesquida (coords.), *Comunicaciones Móviles de Tercera Generación, UMTS*, Telefónica Móviles, 2ª Ed., 2001
- [5] J. Laiho et. al, *Radio Network Planning and Optimisation for UMTS*, John Wiley & Sons, 2002
- [6] B. Walke et. al, UMTS The Fundamentals, John Wiley & Sons, 2003
- [7] E. Dahlman, S. Parkvall, J. Sköld, *LTE/LTE-Advanced for Mobile Broadband*, Academic Press, 2nd Ed., 2014
- [8] The 3rd Generation Partnership Project: http://www.3gpp.org